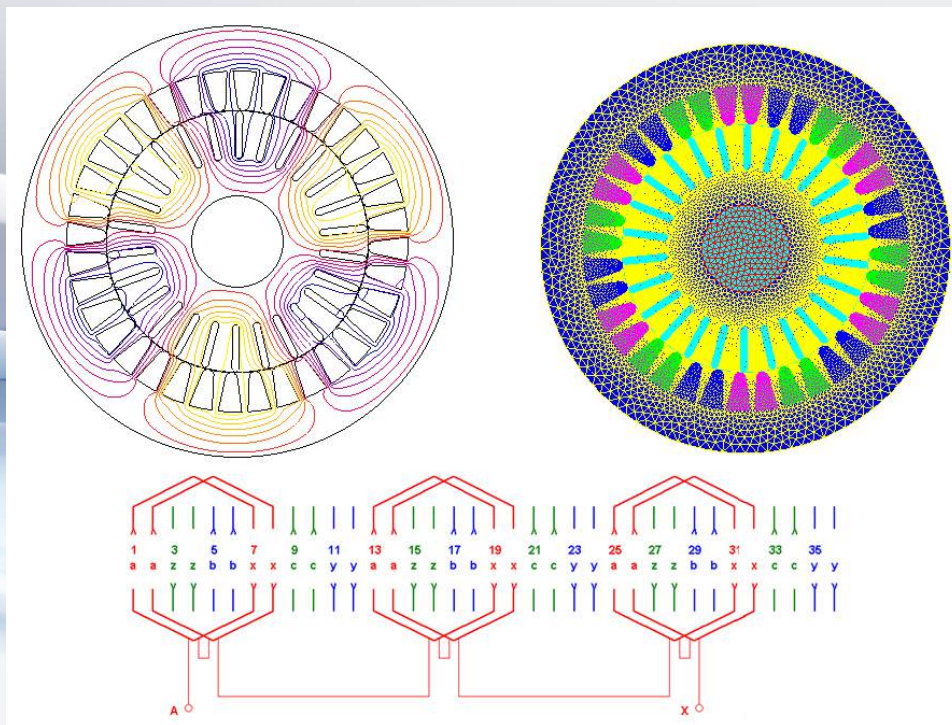


Ciprian Gheorghe Nistor

Analiza și modelarea zgomotelor motoarelor de inducție trifazate de randament premium IE 3

Studii de caz (VOL. I)



Presă Universitară Clujeană

Ciprian Gheorghe Nistor

**Analiza și modelarea zgomotelor
motoarelor de inducție trifazate
de randament premium IE 3**

Studii de caz (VOL. I)

Presa Universitară Clujeană

2018

Referenți științifici:

Prof. univ. dr. ing. Marius Georgescu

Conf. univ. dr. ing. Luminița Roxana Cloțea

ISBN general 978-606-37-0395-9

ISBN specific vol. I 978-606-37-0396-6

© 2018 Autorul volumului. Toate drepturile rezervate. Reproducerea integrală sau parțială a textului, prin orice mijloace, fără acordul autorului, este interzisă și se pedepsește conform legii.

**Universitatea Babeș-Bolyai
Presa Universitară Clujeană
Director: Codruța Săcelean
Str. Hasdeu nr. 51
400371 Cluj-Napoca, România
Tel./fax: (+40)-264-597.401
E-mail: editura@editura.ubbcluj.ro
<http://www.editura.ubbcluj.ro>**

CUPRINS

<i>PREFAȚĂ</i>	5
 CAPITOLUL 1	
ASPECTE GENERALE PRIVIND ANALIZA ZGOMOTULUI ÎN CAZUL MOTOARELOR DE INDUCȚIE TRIFAZATE ȘI DEFINIREA MĂRIMILOR DE BAZĂ UTILIZATE	7
1.1. Considerații generale privind stadiul actual în analiza zgomotului pentru motoarele de inducție trifazate	7
1.2. Definirea mărimilor acustice	8
1.3. Efectele zgomotelor și vibrațiilor	13
1.3.1. Limitele admisibile ale nivelurilor de zgomot în clădiri	15
1.4. Reglementări privind normele de zgomot pentru mașinile electrice	18
 CAPITOLUL 2	
SURSELE DE ZGOMOT ÎN MOTOARELE ELECTRICE	22
2.1. Aspecte generale	22
2.2. Surse electromagnetice de zgomot	23
2.3. Surse mecanice de zgomot	29
2.4. Surse aerodinamice de zgomot	31
 CAPITOLUL 3	
APARATE DE MĂSURĂ ȘI METODE DE MĂSURARE A ZGOMOTULUI ÎN CAZUL MOTOARELOR ELECTRICE	34
3.1. Generalități	34
3.2. Structura unei camere semianecoice	35
 CAPITOLUL 4	
MODELAREA ZGOMOTULUI DE NATURĂ MAGNETICĂ PENTRU MOTOARELE ASINCRONE DE RANDAMENT PREMIUM (STUDIUL DE CAZ)	39
4.1. Aspecte generale	39
4.2. Definirea parametrilor de funcționare pentru motoarele studiate	39
4.3. Modelarea și analiza zgomotului magnetic pentru motorul asincron trifazat de randament premium de tip MAL 160M cu puterea de 7.5 kW/1000 rpm	46
4.4. Modelarea și analiza zgomotului magnetic pentru motorul asincron trifazat de randament premium de tip MAL 160L cu puterea de 11 kW/1000 rpm	54

CAPITOLUL 5

MĂSURĂRI ALE ZGOMOTULUI TOTAL ÎN CAZUL MOTOARELOR DE INDUCȚIE TRIFAZATE DE RANDAMENT PREMIUM. DETERMINARI EXPERIMENTALE

(STUDIU DE CAZ)	62
5.1. Generalități.....	62
5.2. Măsurări de zgomot pentru motorul de tip MAL 160 M, cu puterea de 7.5kW/1000 rpm	64
5.3. Măsurări de zgomot pentru motorul de tip MAL 160 L, cu puterea de 11kW/1000 rpm	70
5.4. Concluzii	76
BIBLIOGRAFIE	79

PREFAȚĂ

Valoarea eshatologică a trăirii umane se bazează pe faptul că la temelia oricărui act existențial stă un *proiect*. Oamenii de știință contemporani cugetă în mod similar, adică la baza oricărei ființe stă un *proiect*. Achiziția uimitoare a științei în zilele noastre, tocmai în această sferă a conștiinței, se rezumă la singurul principiu de bază adică, existența se întemeiază pe spirit, nu pe materie.

Din perspectivă fundamentală, știința operează într-un sistem material caracterizat de două coordonate – spațiu și timp. Ulterior s-a dovedit că sub acest strat mai există un Conținut care susține cele două coordonate și le dă un sens. Acest Conținut nu are o cauză, este o existență care nu are cauză și care a fost din nimic, a cărei structură nu poate fi dovedită științific, acesta este însuși *Logosul lui Dumnezeu*. Ori acest Logos, care este întrupat în chipul *Sfintei Treimi*, constituie referința substanțială a proiectului.

În contextul globalizării actuale este necesară prezentarea substanțială a actului divin în știință. În primele secole, oamenii de știință – filosofi realizau un progres științific numai printr-o existență Supranaturală [...] Dumnezeu. Așadar, atât știința privită ca obiect de studiu, cât și teologia, văzută cu același statut, alcătuiau un tot unitar – o sinergie – fiind inseparabile una față de cealaltă; lucru remarcat și în multe lucrări din domenii precum astronomia și filosofia. Diferența, din acest punct de vedere era (și este) că prima se oprește odată cu materia, iar cealaltă continuă. Așadar știința s-a întemeiat pe baza teologiei, și nu invers.

Marele fiziolog N. C. Paulescu în cartea sa *Noțiunile „Suflet” și „Dumnezeu” în Fiziologie* specifică clar faptul că omul este alcătuit din *trup* și *suflet* – adică din *materie* și *spirit*, între care există o legătură indisolubilă. Tot același autor, mai departe menționează faptul că materia este limitată ontologic și este subordonată sufletului (spiritului).

În scrisorile transmise de Sir Isaac Newton către doctorul Bentley, în care acesta din urmă îl roagă să îi scrie despre univers și natură, la prezentarea poziției planetelor și a soarelui, Newton afirmă „...*Toate acestea nu cred că sunt explicabile doar prin cauze naturale, ci mă văd nevoit să le atribui Planului și Ingeniozității unui Agent Voluntar (Dumnezeu)*”. Așadar, din aceste cuvinte, rezultă faptul că la baza tuturor fenomenelor materiale și nemateriale stă Dumnezeu.

Rezultatele științifice se clădesc pe baza inspirației, ori așa cum spuneam la început, această inspirație nu este de ordin material, ci de ordin Divin, întrucât se clădește pe spirit.

Din această perspectivă, tot Isaac Newton fiind întrebat cum a descoperit gravitația prin căderea mărului – a răspuns: „...*am fost inspirat*”. Așadar nu căderea mărului l-a dus pe Newton la descoperirea fenomenului, ci încununarea acestei acțiuni printr-un ordin Divin. Întrebat mai departe ce este gravitația acesta a răspuns: „Dumnezeu!”. Aceste lucruri sunt consemnate în lucrarea sa *Principia Mathematica*.

Actul creației, indiferent de natură, se bazează numai pe o revelație Dumnezeiască. Aceasta este accesibilă oricărei persoane, dacă nu își atrofiază, prin propriile trăiri orientate către materie, latura conștiinței și, chiar în această situație, primește revelația din tradiția sacră și arta sacră.

Omul de știință, în evoluția cercetărilor științifice, abordează treptat tot ce este măsurabil – cuantificabil mergând către un fond lăuntric al acestui act. Fizicianul american David Bohm, distinge, din această perspectivă, două laturi și anume: o latură explicită și o latură implicită. Implicitul este tocmai fondul lăuntric, substanțial care se implică în explicit dându-i o natură spirituală.

Sfântul Maxim Mărturisitorul în explicarea Mistagogiei (rânduirea în timpul liturghiei ortodoxe) precizează următoarele lucruri: „...iar dacă prin cele ce se văd se primesc cele ce nu se văd, cum s-a scris, cu mult mai vârtos vor fi înțelese prin cele ce nu se văd cele ce se văd, de către cei dedați contemplației duhovnicești. De fapt contemplația simbolică a celor inteligibile prin cele văzute este știință și înțelegere duhovnicească a celor văzute prin cele nevăzute. Căci cele ce-și sunt unele altora indicatoare trebuie să vădească reciproc prezența adevărată și clară a celorlalte și relația neștirbită cu acelea”.

Așadar ni se oferă o raportare clară a celor două trăiri umane, una materială științifică și cealaltă duhovnicească – spirituală. Omul de știință numai prin aceste două trăiri dobândește un rod al celor create.

Virtutea științifică poate fi dobândită numai atunci când cele două trăiri sunt rânduite într-o lucrare sinergică. Această rânduire revine direct omului, prin crearea unui abis interior în care să poată intra Dumnezeu. Sau, din contră, omul poate să suprimă acest mod de trăire, însă, în mod inconștient, va primi revelația Divină prin Sfânta Tradiție. Aceasta este și calea vieții proiectată direct în eshaton. **Toate rațiunile lucrurilor materiale urcă la Rațiunea supremă, care este însuși Logosul lui Dumnezeu.**

Brașov
Martie 2018

Pr. dr. ing. Nistor Ciprian Gheorghe

CAPITOLUL 4

MODELAREA ZGOMOTULUI DE NATURĂ MAGNETICĂ PENTRU MOTOARELE ASINCRONE DE RANDAMENT PREMIUM (STUDIU DE CAZ)

4.1. Aspecte generale

Pentru studiul de față, s-au studiat două motoare asincrone trifazate de gabarit 160: MAL 160M – 7,5 kW/1000 rpm 3 poli respectiv MAL 160L – 11 kW/1000 rpm 3 poli înfășurări simplu strat, norma de randament IE3, produse de întreprinderea Electroprecizia Săcele (fig. 4.1).

Pentru analiza zgomotului de natură magnetică s-a utilizat programul de element finit FLUX 2D, care, pe parametrilor introduși a calculat amplitudinea componentei magnetice a zgomotului total creat de motor precum și alți parametrii ce apar în funcționarea de regim normal și fără sarcină a motoarelor asincrone trifazate.

Modelarea zgomotelor de natură mecanică și magnetică este necesară pentru evaluarea zgomotului total produs de fiecare motor și compararea cu rezultatele experimentale obținute în condițiile validării de către standardul 60034-9 pentru mașini electrice rotative norma de randament IE3 care va intra în vigoare începând cu data de 01.01.2015 pentru motoare cu puteri mai mari de 7,5 kW.

4.2. Definirea parametrilor de funcționare pentru motoarele studiate

Parametrii de funcționare pentru cele două motoare asincrone trifazate studiate în lucrare s-au definit conform datelor obținute de la producător prin intermediul programului de calcul Mocap [18].

Această definire a parametrilor este necesară întrucât cele două programe de analiză a zgomotelor necesită încă de la începutul simulărilor introducerea parametrilor motorului pentru a putea parcurge mai departe următoarele etape din simularea propriu-zisă.

Parametrii motorului asincron trifazat de tip MAL 160 M cu puterea de 7,5 kW/1000 rpm sunt prezentați în tabelul 4.1.

Tabelul 4.1.
Parametrii motorului asincron trifazat cu puterea de 7,5 kW/1000 rpm

Putere [kW]	7,5
Viteză de sincronism [rpm]	1000
Tensiune nominală [V]	400
Frecvență [Hz]	50

Grad de protecție	IP 55
Clasa de izolație / Clasa de temperatură	F/B
Lungimea fierului [mm]	220
Număr creștături statorice	36
Număr creștături rotorice	26
Înălțimea întrefierului [mm]	0,5
Perechi de poli	3
Cuplu pornire/Cuplu nominal	2,51
Randament [%]	0,88
Alunecare [%]	4,0
Factor de putere	0,65
Curent pornire/Curent nominal	5,22
Tip tolă stator	M400-65
Numărul de straturi – înfășurare stator	1
Numărul de spire pe fază – stator	180
Diametrul conductorului –stator [mm]	4x0.94
Lungimea carcasei [mm]	449
Diametrul exterior carcasă [mm]	260
Masa [kg]	87
Rezistența înfășurării statorice la 20 °C [Ω]	0,914
Curentul absorbit la funcționarea în gol [A]	13,1

În cazul motorului asincron trifazat cu rotorul în scurtcircuit de tip MAL 160 L cu puterea de 11kW/1000 rpm parametrii tehnici și constructivi furnizați de către producător sunt prezentați în tabelul 4.2.

Tabelul 4.2.

Parametrii motorului asincron trifazat cu puterea de 11 kW/1000 rpm

Putere [kW]	11
Viteză de sincronism [rpm]	1000
Tensiune nominală [V]	400
Frecvență [Hz]	50
Grad de protecție	IP 55
Clasa de izolație / Clasa de temperatură	F/B
Lungimea fierului [mm]	280
Număr creștături statorice	36
Număr creștături rotorice	26
Înălțimea întrefierului [mm]	0,50
Perechi de poli	3

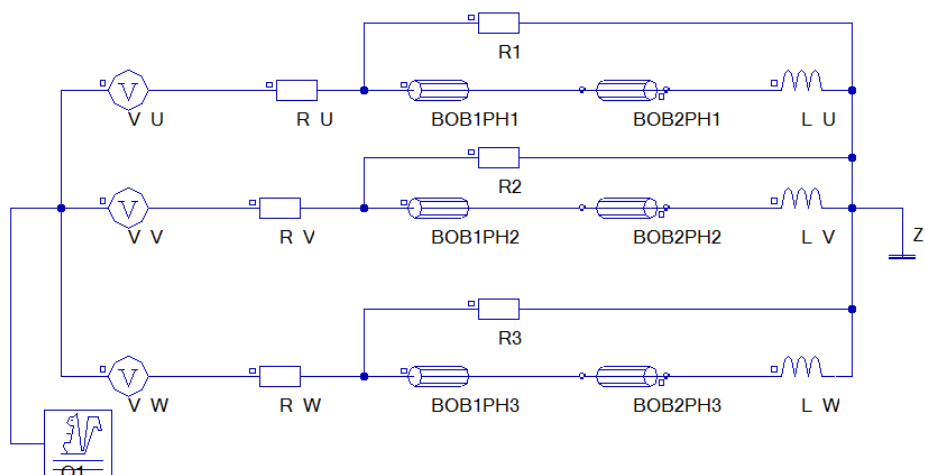
Cuplu pornire/Cuplu nominal	2,2
Randament [%]	0,89
Alunecare [%]	3,45
Factor de putere	0,69
Curent pornire/Curent nominal	4,8
Tip tolă stator	M400-65
Numărul de straturi – înfășurare stator	1
Numărul de spire pe fază – stator	144
Diametrul conductorului –stator [mm]	2x0,9 +2x0,95
Lungimea carcasei [mm]	449
Diametrul exterior carcasă [mm]	260
Masa [kg]	88,5
Rezistența înfășurării statorice la 20 °C [Ω]	0,809
Curentul absorbit la funcționarea în gol [A]	16,1

În modelarea celor două motoare din perspectiva analizării zgomotului magnetic dar și mecanic se consideră funcționarea acestora în gol după finalizarea regimului tranzitoriu care apare la pornire cu limitele de analiză specifice impuse.

Schemele electrice echivalente pentru cele două motoare sunt reprezentate în figurile 4.2 și 4.3. Acestea sunt necesare cu precădere pentru simularea zgomotului magnetic prin intermediul programului de element finit FLUX 2D.

Valorile elementelor din schemele electrice au fost furnizate de către producător și comparate cu programul de proiectare asistată a motoarelor electrice – Mocap.

Atât în modelarea zgomotului de natură magnetică cât și mecanică s-a ținut cont de toate particularitățile practice ce apar în funcționarea celor două motoare și nu s-a idealizat niciun parametru atât din punct de vedere electric cât și mecanic.



**Fig. 4.2. Schema electrică echivalentă
a motorului asincron trifazat cu puterea de 7.5 kW/1000 rpm**

Valorile elementelor din schema electrică sunt prezentate în tabelul următor.

Tabelul 4.3. Valorile elementelor din schema electrică echivalentă pentru motorul asincron trifazat 7,5 kW/1000 rpm

Parametru	Denumire în Flux 2D	Valoare
Sursă de tensiune [V]	V _ U	400
Sursă de tensiune [V]	V _ V	400
Sursă de tensiune [V]	V _ W	400
Rezistență internă sursă [Ω]	R _ U	0.9
Rezistență internă sursă [Ω]	R _ V	0.9
Rezistență internă sursă [Ω]	R _ W	0.9
Rezistență [Ω]	R ₁	10 ⁶
Rezistență [Ω]	R ₂	10 ⁶
Rezistență [Ω]	R ₃	10 ⁶
Rezistență bobină de fază [Ω]	BOB1PH1	0,914
Rezistență bobină de fază [Ω]	BOB1PH2	0,914
Rezistență bobină de fază [Ω]	BOB1PH3	0,914
Rezistență bobină de fază [Ω]	BOB2PH1	0,914
Rezistență bobină de fază [Ω]	BOB2PH2	0,914
Rezistență bobină de fază [Ω]	BOB2PH3	0,914
Inductanța capătului de înfășurare [H]	L _ U	51.12 x10 ⁻³
Inductanța capătului de înfășurare [H]	L _ V	51.12 x10 ⁻³
Inductanța capătului de înfășurare [H]	L _ W	51.12 x10 ⁻³

Schema electrică echivalentă pentru motorul asincron trifazat cu puterea de 11kW/1000 rpm este prezentată în figura 4.3.

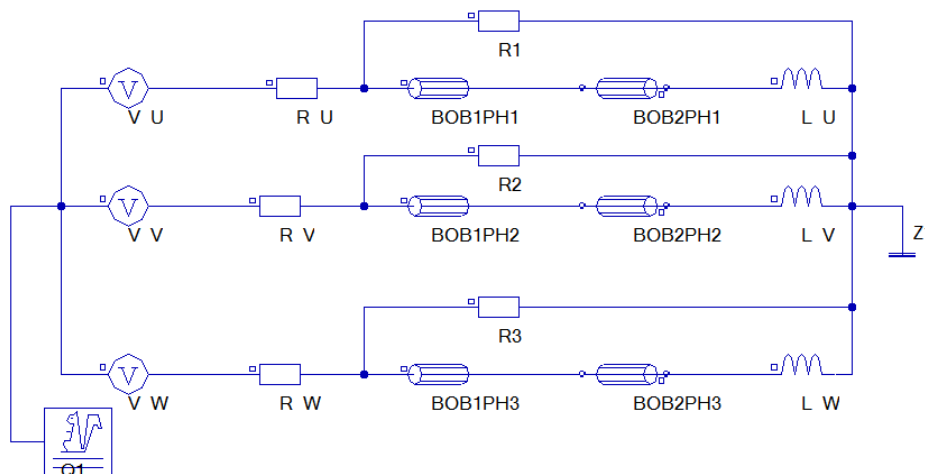


Fig. 4.3. Schema electrică echivalentă a motorului asincron trifazat cu puterea de 11 kW/1000 rpm

Valorile elementelor aferente schemei electrice sunt prezentate în tabelul următor.

Tabelul 4.4. Valorile elementelor din schema electrică echivalentă pentru motorul asincron trifazat 11 kW/1000 rpm

Parametru	Denumire în Flux 2D	Valoare
Sursă de tensiune [V]	V_U	400
Sursă de tensiune [V]	V_V	400
Sursă de tensiune [V]	V_W	400
Rezistență internă sursă [Ω]	R_U	0.9
Rezistență internă sursă [Ω]	R_V	0.9
Rezistență internă sursă [Ω]	R_W	0.9
Rezistență [Ω]	R ₁	10 ⁶
Rezistență [Ω]	R ₂	10 ⁶
Rezistență [Ω]	R ₃	10 ⁶
Rezistență bobină de fază [Ω]	BOB1PH1	0,8
Rezistență bobină de fază [Ω]	BOB2PH1	0,8
Rezistență bobină de fază [Ω]	BOB1PH2	0,8
Rezistență bobină de fază [Ω]	BOB2PH2	0,8
Rezistență bobină de fază [Ω]	BOB1PH3	0,8
Rezistență bobină de fază [Ω]	BOB2PH3	0,8
Inductanța capătului de înfășurare [H]	L_U	72.16 x10 ⁻³
Inductanța capătului de înfășurare [H]	L_V	72.16 x10 ⁻³
Inductanța capătului de înfășurare [H]	L_W	72.16 x10 ⁻³

Rezistențele interne ale surselor (R_U, R_V, R_W) respectiv valorile de tensiuni ale acestora (V_U, V_V, V_W) au fost asignate conform celor trei înfășurări conectate în stea. Rezistențele R₁, R₂ și R₃, cu o valoare de 10⁶ Ω , una pe fiecare fază, au fost introduse pentru a modela voltmetrele utilizate pentru măsurarea tensiunii între fază și nul.

Bobinele BOB1PH1 (BOB2PH1), BOB1PH2 (BOB2PH2), BOB1PH3 (BOB2PH3), reprezintă rezistențele finale pe fază cu valorile specifice pentru fiecare motor. Inductanțele capetelor de înfășurare s-au notat cu L_U, L_V, L_W.

Schemele de bobinaj

În analiza zgomotului magnetic pentru motoarele de inducție cu turație reglabilă sunt necesare schemele de bobinaj pentru înfășurările statorice. Pentru cele două motoare studiate, datele pentru întocmirea schemelor de bobinaj au fost preluate din programul asistat de proiectare a motoarelor asincrone trifazate cu rotorul în scurtcircuit – Mocap [18].

În prima fază se prezintă schema de bobinaj a înfășurării statorice pentru motorul asincron trifazat de randament premium cu puterea de 7.5 kW/1000 rpm, care are un număr de 26 creștături statorice și 3 perechi de poli.

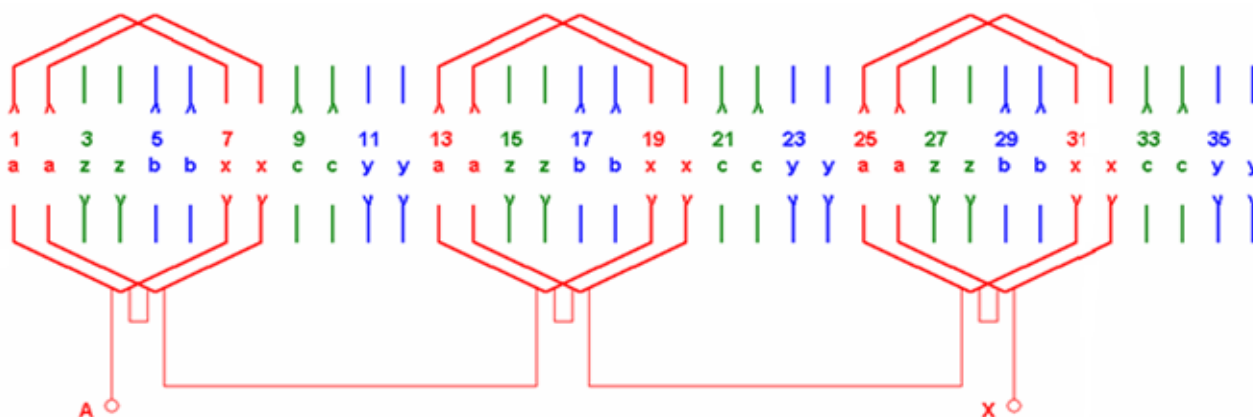


Fig. 4.4. Schema de bobinaj a înfășurării statorice pentru motorul MAL 160M – 7.5 kW/1000 rpm

Datele de bobinaj ale înfășurării statorice calculate sunt prezentate în tabelul 4.5.

Tabelul 4.5. Datele de bobinaj ale înfășurării statorice pentru motorul MAL 160 – 7,5 kW

Crestături pe pol și fază	2
Pas diametral (crestături)	6
Pas înfășurare (crestături)	6
Nr. conductoare în paralel	4
Nr. spire în serie pe fază	180
Nr. conductoare în crestătură	30
Diametrul conductorului -[mm]	4x 0.9

Schema de bobinaj și datele de execuție a acestuia pentru motorul MAL 160L – 11kW/1000 rpm sunt prezentate în figura 4.5 respectiv tabelul 4.6.

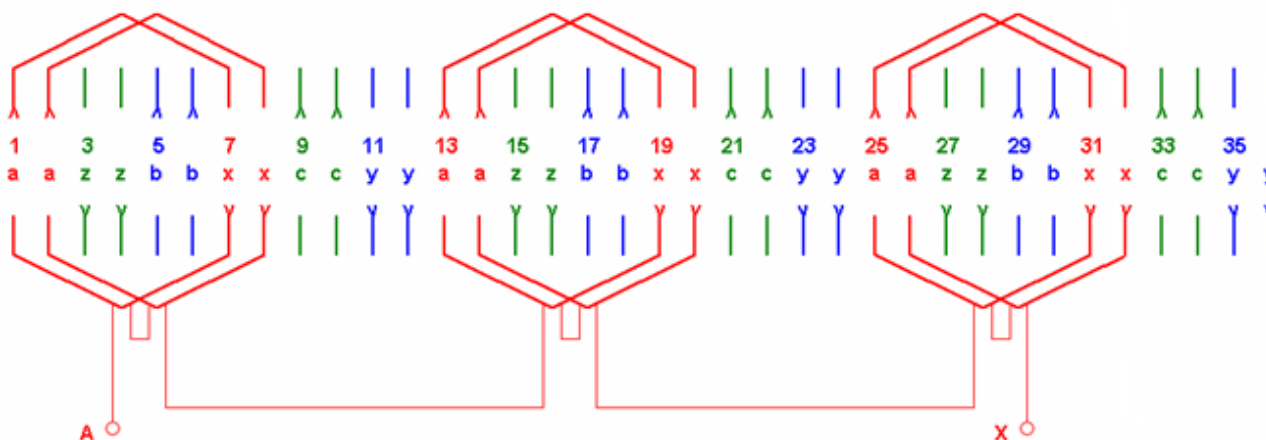


Fig. 4.5. Schema de bobinaj a înfășurării statorice pentru motorul MAL 160L – 11 kW/1000 rpm

Tabelul 4.6. Datele de bobinaj ale înfășurării statorice pentru motorul MAL 160L – 11 kW

Crestături pe pol și fază	2
Pas diametral (crestături)	6
Pas înfășurare (crestături)	6
Nr. conductoare în paralel	4
Nr. spire în serie pe fază	144
Nr. conductoare în crestătură	48
Diametrul conductorului -[mm]	4x 0.9

Amplasarea înfășurărilor statorice la nivel de motor este prezentată în mod comparativ în figurile 4.6 respectiv 4.7.

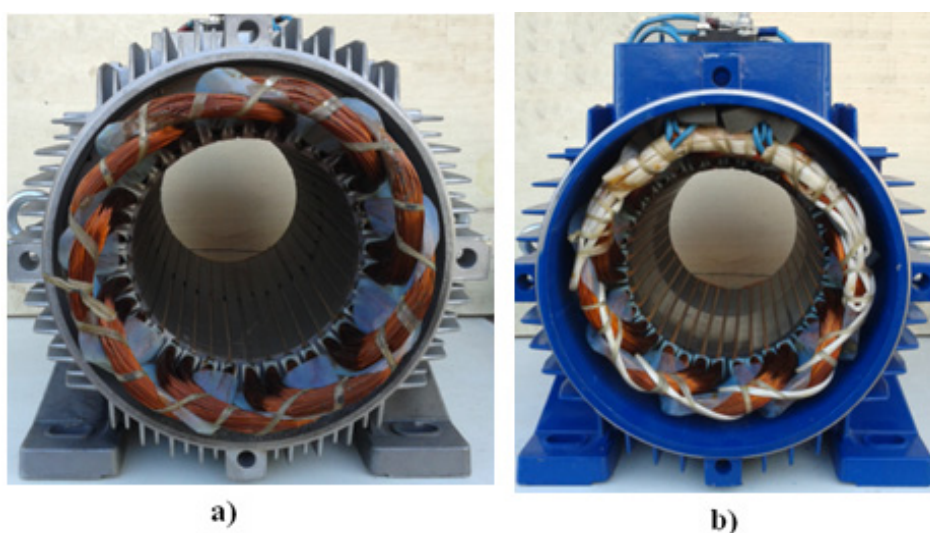


Fig. 4.6 Amplasarea înfășurărilor statorice la nivel de motor:
a) motor MAL 160L – 11 kW/1000 rpm; b) motor MAL 160M – 7.5 kW/1000 rpm

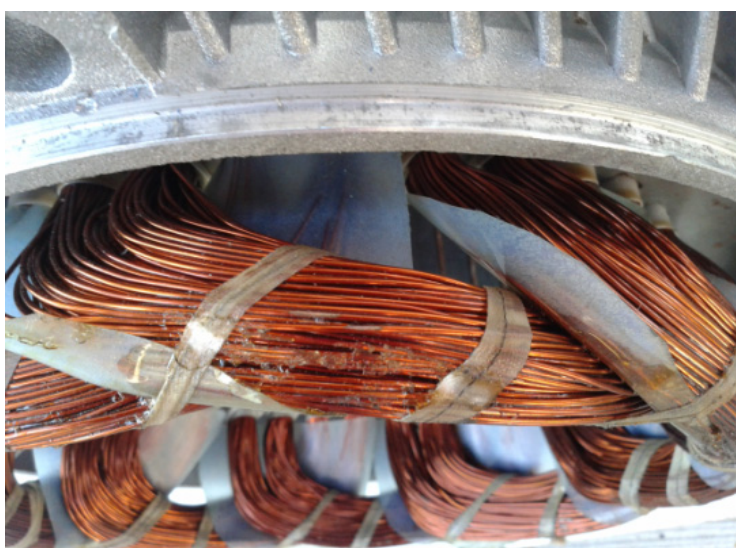


Fig. 4.7. Amplasarea înfășurărilor statorice la nivel de motor

Din punct de vedere constructiv bobinele sunt confecționate din CuEm și au fost izolate cu lac protector care asigură o izolare electrică corespunzătoare dar și o stabilitate la forțele de natură magnetică ce apar în funcționarea normală a motorului.

4.3. Modelarea și analiza zgomotului magnetic pentru motorul asincron trifazat de randament premium de tip MAL 160M cu puterea de 7.5 kW/1000 rpm

Modelarea zgomotului magnetic pentru motoarele asincrone trifazate vizează în primul rând parcurgerea mai multor etape.

Utilizând programul de element finit FLUX 2D se desenează în prima fază geometria motorului după datele furnizate de producător. A doua etapă o reprezintă generarea automată a rețelei de elemente finite pe structura de motor proiectată. De menționat este faptul că după generarea rețelei de elemente finite programul exportă și un raport al acestei transformări. Urmează introducerea materialelor utilizate pentru fiecare componentă a motorului (tipul tolei utilizate, materialul din care sunt confecționate barele rotorice, etc) specificându-se și elementul corespondent geometriei.

Tola utilizată în construcția ambelor motoare studiate este M 400-65, carcasele sunt confecționate din siluminiu iar barele rotorice sunt confecționate din aluminiu scurtcircuitate la capete.

Penultima etapă o constituie întocmirea schemei echivalente cu parametrii furnizați de către departamentul de bobinaj al uzinei producătoare, iar la final după verificarea tuturor etapelor se generează rezultatele obținute activând opțiunea *Solve*.

În analiza zgomotului magnetic se generează/calculează următorii parametri:

- Distribuția inducției magnetice în secțiunea motorului;
- Distribuția liniilor de câmp magnetic în secțiune;
- Valoarea și graficul inducției magnetice în întrefier;
- Nivelul continuu al presiunii acustice în funcție de amplitudinea armonicilor, respectiv nivelul de zgomot magnetic radiat în spectrul acustic.

Fiecare parametru de mai sus caracterizează din punct de vedere fenomenologic dar și structural zgomotul magnetic.

Modelarea zgomotului magnetic s-a făcut considerând alimentarea motoarelor atât prin inverter cât și de la rețea.

În cazul alimentării prin inverter s-au considerat trei frecvențe de alimentare respectiv: 40 Hz, 50 Hz și 60 Hz. Pentru fiecare frecvență de alimentare s-au determinat parametrii caracteristici ai zgomotului magnetic prezentați mai sus. În cazul alimentării de la rețea (50 Hz) rezultatele s-au prezentat în mod comparativ cu alimentarea la aceeași frecvență dar prin inverter.

Geometria miezului magnetic pentru motorul de tip MAL 160M , 7.5 kW/1000 rpm a fost realizată utilizând programul FLUX 2D și este prezentată în figura 4.8.

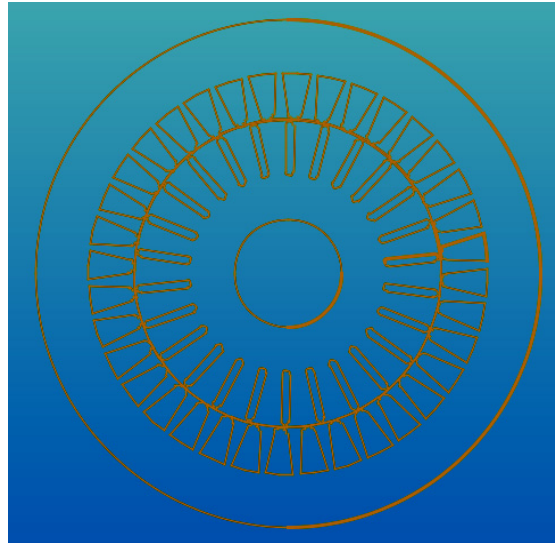


Fig. 4.8. Geometria miezului magnetic pentru motorul MAL 160M-7.5 kW/ 1000 rpm

Modelele de crestături, statorică respectiv rotorică, pentru motorul analizat în acest sunt prezentate în figura următoare.

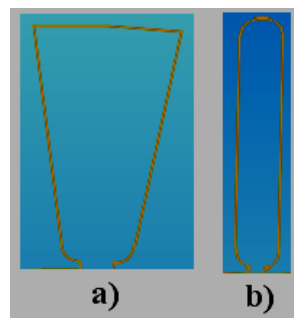


Fig. 4.9. a) crestătură statorică; b) crestătură rotorică;

Rețeaua de elemente finite generată în cazul motorului asincron trifazat de randament premium cu puterea de 7.5 kW /1000 rpm este prezentată în figura 4.10.

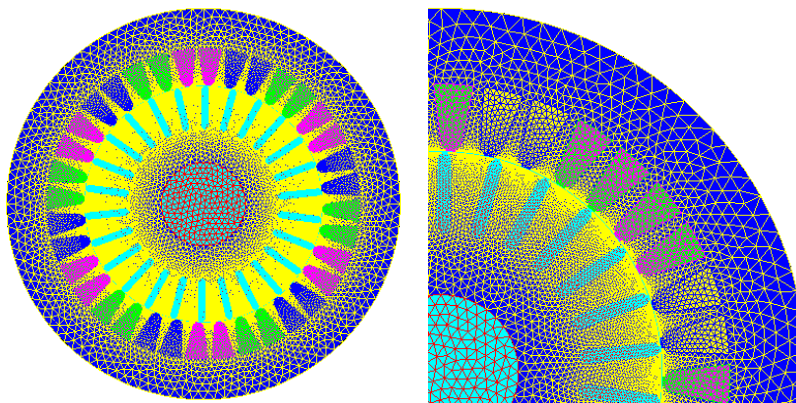


Fig. 4.10. Rețeaua de elemente finite generată în cazul motorului asincron trifazat cu puterea de 7.5 kW/1000 rpm

Raportul acestei transformări este prezentat în tabelul 2.7.

Tabelul 4.7. Datele rețelei de elemente finite

Procentul de elemente neevaluate	0 %
Procentul de elemente de calitate excelentă	98.89 %
Procentul de elemente de calitate bună	1.07%
Procentul de elemente de calitate medie	0.04 %
Procentul de elemente de calitate slabă	0%
Procentul de elemente anormale	0 %
Numărul de noduri	87257
Ordinul elementelor rețelei	2

În continuare se vor analiza toți parametrii descriși anterior, care caracterizează atât din punct de vedere structural cât și fenomenologic, zgomotul de natură electromagnetică generat de motorul de tip MAL 160M cu puterea de 7.5 kW/1000 rpm, randament premium IE3.

I. Alimentare prin invertor la frecvența de 40 Hz

a) Distribuția inducției magnetice (în secțiune) pentru motorul asincron trifazat de tip MAL 160M cu puterea de 7,5 kW/1000 rpm este prezentată în figura de mai jos.

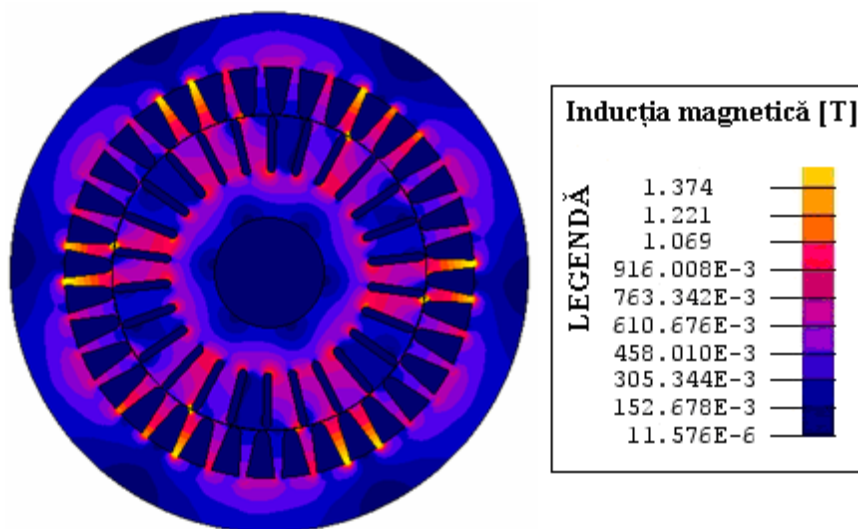


Fig. 4.11. Distribuția inducției magnetice (în secțiune) pentru motorul asincron trifazat cu puterea de 7,5 kW/1000 rpm alimentat prin invertor la frecvența de 40 Hz

Se observă ca la această frecvență valoarea inducției magnetice are valori reduse și implicit zgomotul magnetic creat va avea o valoare mai scăzută.

b) Distribuția liniilor de câmp pentru motorul studiat este prezentată în figura 4.12.

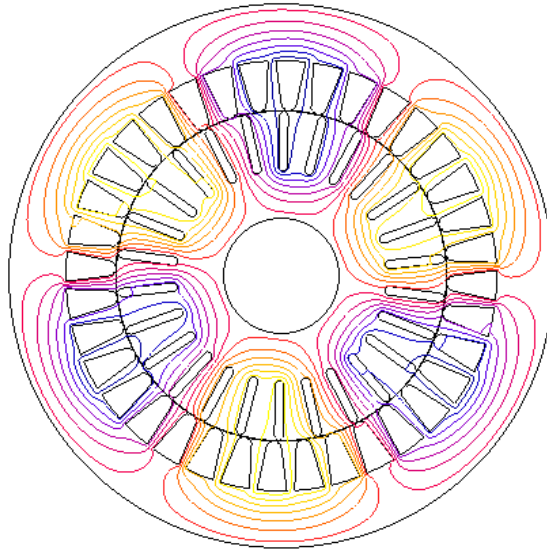


Fig. 4.12. Distribuția liniilor de câmp pentru motorul asincron trifazat cu puterea de 7,5 kW/1000 rpm alimentat prin inverter la frecvența de 40 Hz

c) Componenta normală a inducției magnetice în întrefier în situația alimentării prin inverter la frecvența de 40 Hz este prezentată în figura 4.13.

De menționat faptul că toată analiza de zgomot magnetic s-a făcut considerând regimul de funcționare în gol al motoarelor iar regimul tranzitoriu încheiat (0,5 s după pornire).

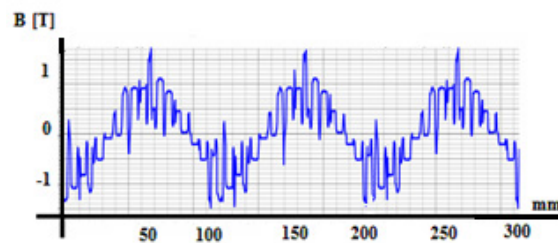


Fig. 4.13. Componenta normală a inducției magnetice în întrefier pentru motorul asincron trifazat cu puterea de 7,5 kW/1000 rpm alimentat prin inverter la frecvența de 40 Hz

d) Nivelul continuu al presiunii acustice în funcție de amplitudinea armonicilor este prezentat în figura 4.14.

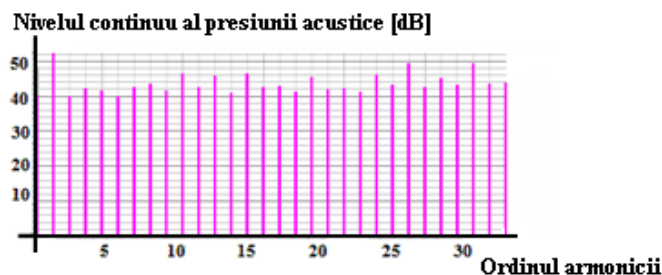


Fig. 4.14. Nivelul continuu al presiunii acustice în funcție de amplitudinea armonicilor pentru motorul studiat alimentat prin inverter la frecvența de 40 Hz

În cazul alimentării motorului cu puterea de 7.5 kW prin inverter la frecvența de 40 Hz , amplitudinea medie a zgomotului magnetic este de 44.8 dB.

II. Analiza comparativă în cazul alimentării prin inverter la frecvența de 50 Hz și direct de la rețea

a) Distribuția inducției magnetice pentru motorul studiat în situația alimentării prin inverter respectiv de la rețea este prezentată în figura de mai jos.

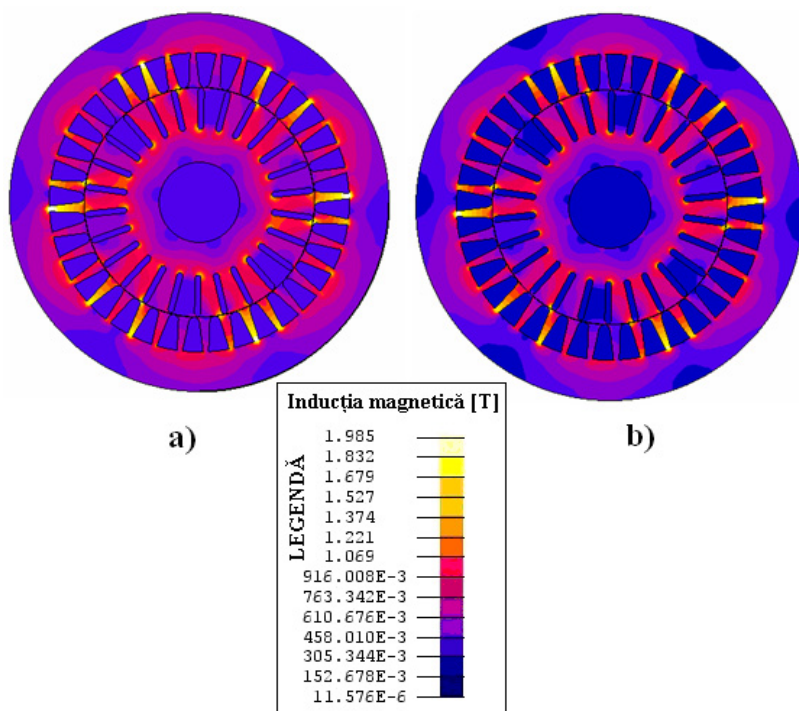


Fig. 4.15. Distribuția inducției magnetice (în secțiune) pentru motorul asincron trifazat cu puterea de 7,5 kW/1000 rpm alimentat: a) prin inverter la frecvența de 50 Hz; b) direct de la rețea

b) Distribuția liniilor de câmp în cazul motorului studiat pentru ambele moduri de alimentare, este prezentată în figura 4.16.

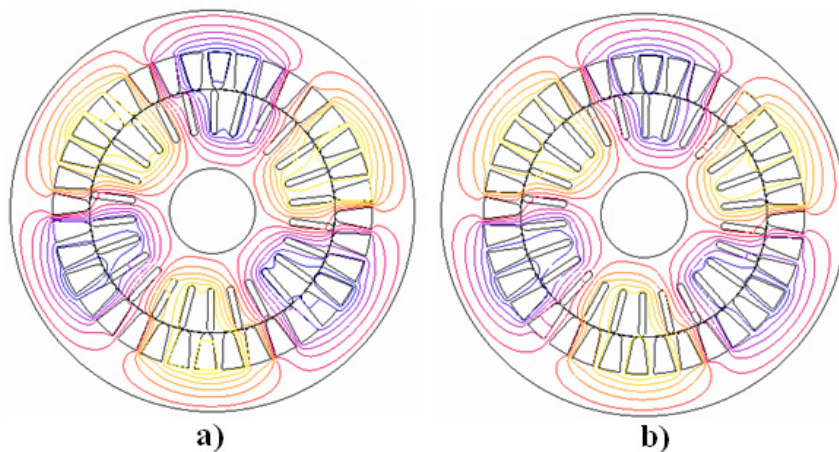


Fig. 4.16. Distribuția liniilor de câmp pentru motorul asincron trifazat cu puterea de 7,5 kW/1000 rpm alimentat: a) prin inverter la frecvența de 50 Hz; b) direct de la rețea

c) Componenta normală a inducției magnetice în întrefier este prezentată în figura 4.17.

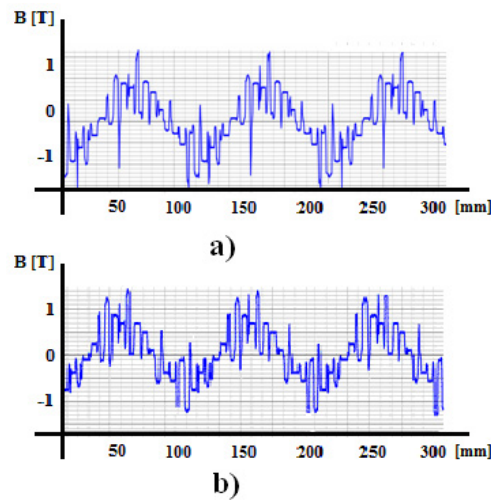


Fig. 4.17. Componenta normală a inducției magnetice în întrefier pentru motorul studiat alimentat: a) prin inverter la frecvența de 50 Hz; b) direct de la rețea

În cazul alimentării prin inverter se observă faptul că amplitudinea medie a inducției magnetice în întrefierul motorului este mai ridicată, aproximativ 1.5 T comparativ cu aceeași situație dată, însă motorul alimentat la rețea unde amplitudinea medie a inducției magnetice are valoarea de 1.2 T.

d) Nivelul continuu al presiunii acustice în funcție de amplitudinea armonicilor este prezentat în figura 4.18.

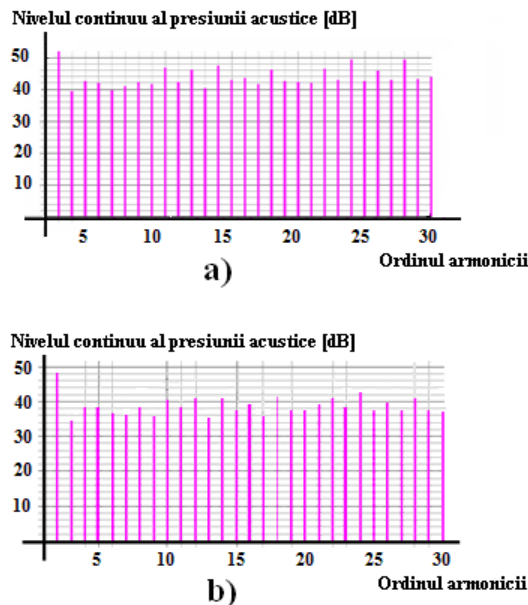


Fig. 4.18. Nivelul continuu al presiunii acustice în funcție de amplitudinea armonicilor pentru motorul studiat alimentat: a) prin inverter la frecvența de 50 Hz; b) direct de la rețea

În cazul alimentării motorului direct de la rețea amplitudinea medie a zgomotului magnetic 39.8 dB comparativ cu situația alimentării prin inverter la aceeași frecvență unde amplitudinea medie a zgomotului magnetic este de 43.9 dB.

III. Alimentare prin invertor la frecvența de 60 Hz

a) Distribuția inducției magnetice (în secțiune) pentru motorul asincron trifazat de tip MAL 160M cu puterea de 7,5 kW/1000 rpm este prezentată în figura de mai jos.

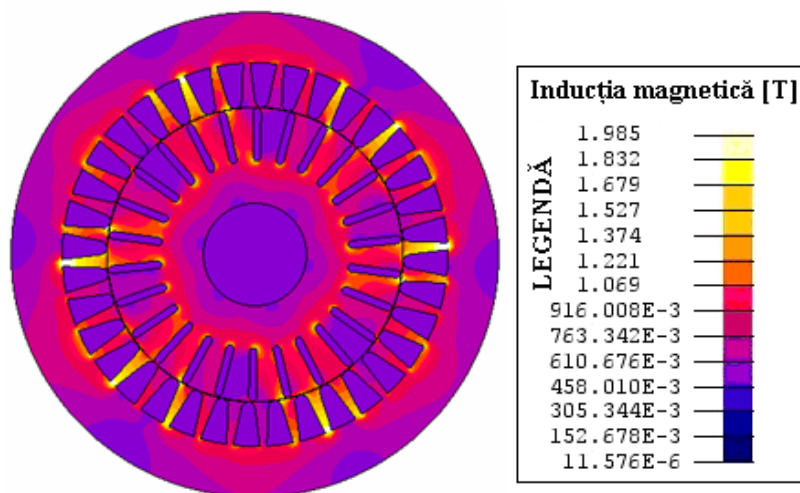


Fig. 4.19. Distribuția inducției magnetice (în secțiune) pentru motorul asincron trifazat cu puterea de 7,5 kW/1000 rpm alimentat prin invertor la frecvența de 60 Hz

Se observă faptul că odată cu creșterea frecvenței de alimentare miezul magnetic tinde să atingă punctul maxim de saturație, valoarea distribuției inducției magnetice este mai ridicată decât în situațiile anterioare.

b) Distribuția liniilor de câmp pentru motorul analizat este prezentată în figura 4.20.

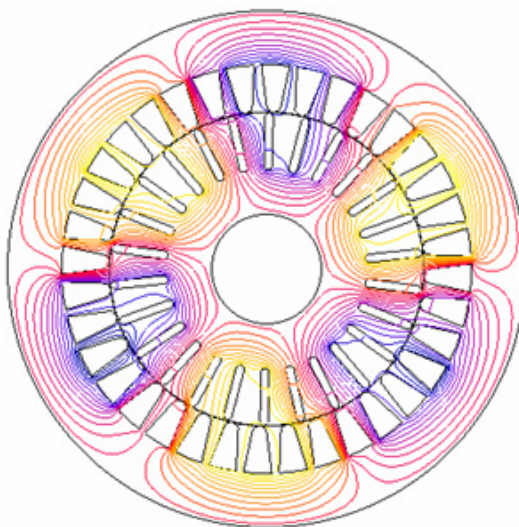


Fig. 4.20. Distribuția liniilor de câmp pentru motorul asincron trifazat cu puterea de 7,5 kW/1000 rpm alimentat prin invertor la frecvența de 60 Hz

c) Componenta normală a inducției magnetice în întrefier în situația alimentării prin invertor la frecvența de 60 Hz este prezentată în figura 4.21.

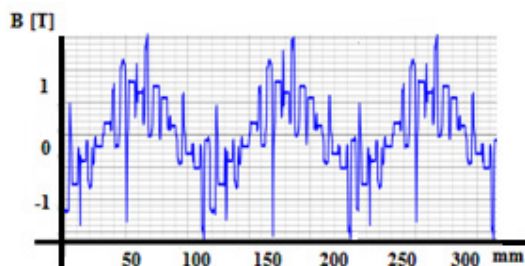


Fig. 4.21. Componenta normală a inducției magnetice în întrefier pentru motorul asincron trifazat cu puterea de 7,5 kW/1000 rpm alimentat prin invertor la frecvența de 60 Hz

Valoarea maximă a inducției magnetice în întrefier este de 1.8 T. Această variație neuniformă apare datorită formei creștăturilor și implicit a armonicilor din întrefier care se interpun peste unda fundamentală a forței magneto-motoare.

d) Nivelul continuu al presiunii acustice în funcție de amplitudinea armonicilor este prezentat în figura 4.22.

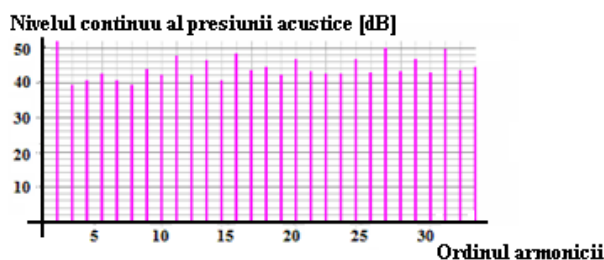


Fig. 4.22. Nivelul continuu al presiunii acustice în funcție de amplitudinea armonicilor pentru motorul studiat alimentat prin invertor la frecvența de 60 Hz

Amplitudinea maximă a nivelului de zgomot radiat în spectrul acustic de componenta magnetică a zgomotului total este de 51.3 dB respectiv valoarea medie a acestuia este de 46.4 dB.

Se observă faptul că amplitudinea zgomotului magnetic depinde în mare măsură de frecvența de alimentare și implicit de turația motorului. Odată cu creșterea frecvenței de alimentare (și implicit a turației) amplitudinea zgomotului magnetic radiat în spectrul acustic începe să crească.

Concluzii

Conform documentației tehnice de specialitate [30, 31, 32, 34] în cazul motoarelor de randament premium IE3, componenta magnetică a zgomotului radiat în mediu are cea mai mare pondere în producerea zgomotului total.

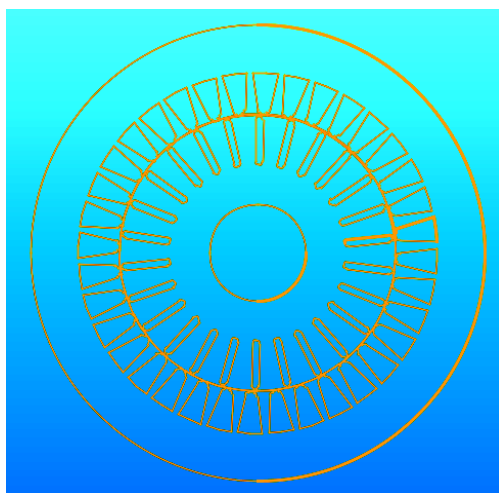
În cazul acestui motor se observă faptul că în momentul alimentării prin invertor, datorită armonicilor introduse de acesta, distribuția inducției magnetice în întrefier este mult deformată crescând și amplitudinea acesteia iar valoarea zgomotului magnetic creat începe să crească odată cu creșterea valorii frecvenței de alimentare.

4.4. Modelarea și analiza zgomotului magnetic pentru motorul asincron trifazat de randament premium de tip MAL 160L cu puterea de 11 kW/1000 rpm

Algoritmul funcțional prin care se analizează zgomotul magnetic în cazul motorului de tip MAL 160L cu puterea de 11kW/1000 rpm este similar cu cel prezentat anterior.

În cadrul analizei efectuate s-a considerat ca motorul funcționează în regim normal și fără sarcină la arbore.

În primă fază se prezintă geometria și tipurile de creștături statorică respectiv rotorică din structura miezului magnetic realizate prin intermediul platformei specializate din componența programului FLUX 2D.



**Fig. 4.23. Geometria miezului magnetic
pentru motorul MAL 160L – 11kW/1000 rpm**

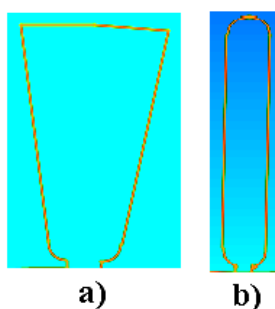


Fig. 4.24. a) creștătură statorică; b) creștătură rotorică;

Din punct de vedere al geometriei miezului magnetic, atât motorul cu puterea de 11kW cât și cel cu puterea de 7.5 kW sunt identice.

Rețeaua de elemente finite generată de program, în cazul motorului asincron trifazat de randament premium cu puterea de 11 kW /1000 rpm este prezentată în figura 4.25.

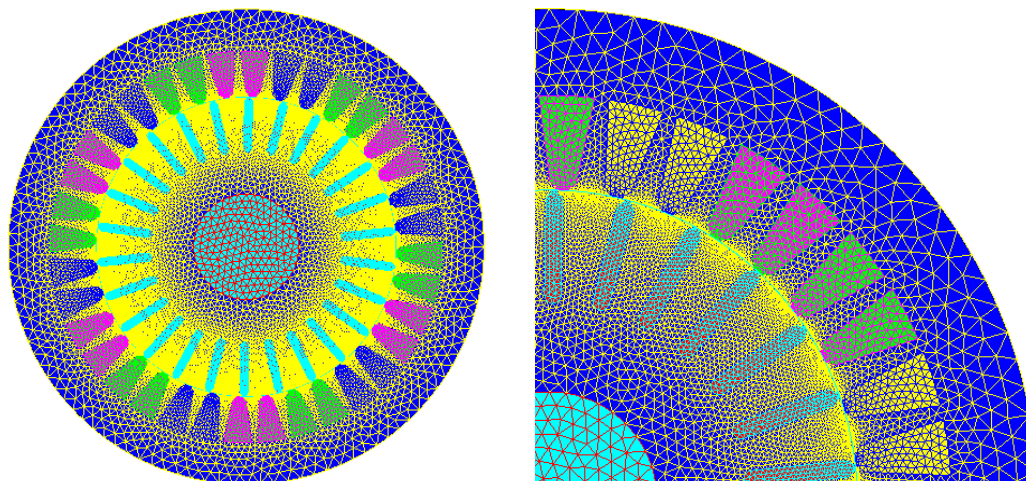


Fig. 4.25. Rețeaua de elemente finite generată în cazul motorului asincron trifazat cu puterea de 11 kW/1000 rpm

Raportul generat de program al acestei transformări este prezentat în tabelul următor.

Tabelul 4.8. Structura rețelei de elemente finite

Procentul de elemente neevaluate	0 %
Procentul de elemente de calitate excelentă	98.91 %
Procentul de elemente de calitate bună	1.07%
Procentul de elemente de calitate medie	0.01 %
Procentul de elemente de calitate slabă	0%
Procentul de elemente anormale	0 %
Numărul de noduri	86129
Ordinul elementelor rețelei	2

În mod comparativ cu rețeaua motorului studiat anterior se observă faptul că procentul de elemente de calitate excelentă este diferit. Acest lucru se datorează faptului că prin intermediul metodei de calcul identice, în cazul motorului cu puterea de 11kW s-au putut identifica mai puține noduri de rețea și implicit acest fenomen a dus la această diferență nesemnificativă din punct de vedere practic.

Pentru analiza zgomotului magnetic, așa cum s-a procedat și în cazul motorului studiat anterior se va considera alimentarea motorului atât de la rețea cât și prin invertor.

I. Alimentare prin invertor la frecvența de 40 Hz

a) Distribuția inducției magnetice (în secțiune) pentru motorul asincron trifazat de tip MAL 160L cu puterea de 11 kW/1000 rpm este prezentată în figura de mai jos.

De menționat faptul că valori mari ale inducției magnetice apar la capetele exterioare ale creștăturilor statorice acolo unde calea de curent este îngustată.

b) Distribuția liniilor de câmp pentru motorul studiat este prezentată în figura 2.26.

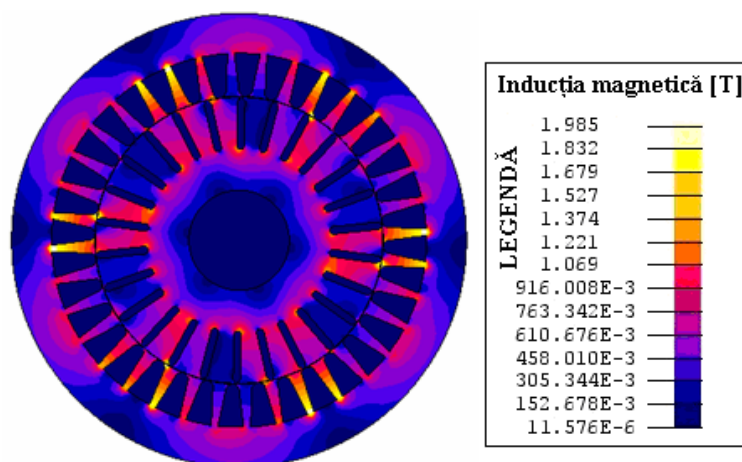


Fig. 4.26. Distribuția inducției magnetice (în secțiune) pentru motorul asincron trifazat cu puterea de 11 kW/1000 rpm alimentat prin inverter la frecvența de 40 Hz

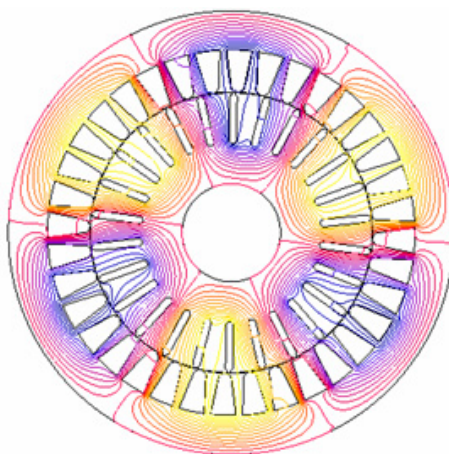


Fig. 4.27. Distribuția liniilor de câmp pentru motorul asincron trifazat cu puterea de 11 kW/1000 rpm alimentat prin inverter la frecvența de 40 Hz

c) Componenta normală a inducției magnetice în întrefier în situația alimentării prin inverter la frecvența de 40 Hz este prezentată în figura 4.28.

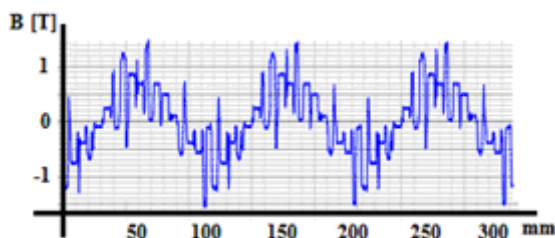


Fig. 4.28. Componenta normală a inducției magnetice în întrefier pentru motorul asincron trifazat cu puterea de 11 kW/1000 rpm alimentat prin inverter la frecvența de 40 Hz

Valoarea maximă a inducției magnetice în întrefier în această situație este de 1.3 T iar valoarea medie este de 1.12 T

d) Nivelul continuu al presiunii acustice în funcție de amplitudinea armonicilor este prezentat în figura 4.29.

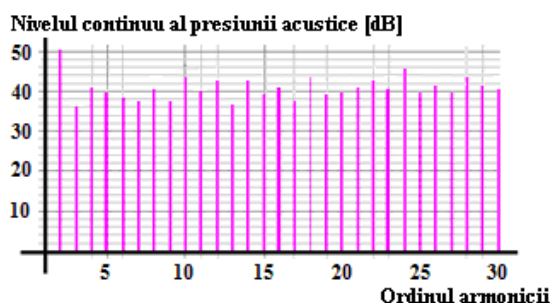


Fig. 4.29. Nivelul continuu al presiunii acustice în funcție de amplitudinea armonicilor pentru motorul studiat alimentat prin inverter la frecvența de 40 Hz

În cazul alimentării motorului cu puterea de 11 kW prin inverter la frecvența de 40 Hz , amplitudinea medie a zgomotului magnetic este de 42.3 dB.

II. Alimentare direct de la rețea (50Hz) și prin inverter 50Hz

În continuare se prezintă în mod comparativ analiza zgomotului de natură magnetică considerând motorul de tip MAL 160L – 11kW/1000 rpm alimentat atât de la rețea cât și prin inverter la frecvența de 50 Hz.

a) Analiza comparativă a distribuției inducției magnetice în secțiunea motorului pentru cele două moduri de alimentare este prezentată în figura de mai jos.

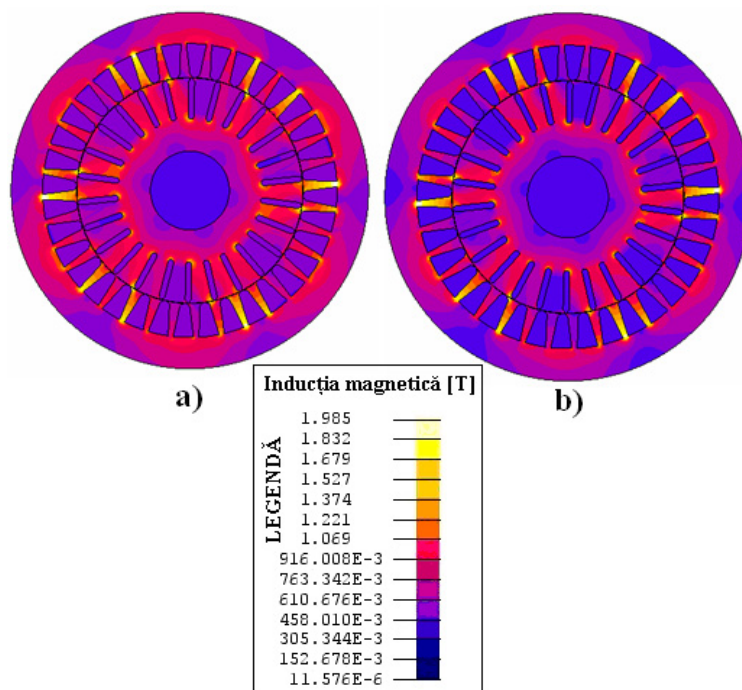


Fig. 4.30. Distribuția inducției magnetice (în secțiune) pentru motorul asincron trifazat cu puterea de 11 kW/1000 rpm alimentat: a) prin inverter la frecvența de 50 Hz; b) direct de la rețea

În situația alimentării prin inverter la frecvența de 50 Hz valoarea inducției magnetice în miezul motorului are valori mai mari față de cazul în care motorul este alimentat direct de la rețea.

Acest fenomen se datorează în principal armonicilor introduse de inverter.

b) Distribuția liniilor de câmp în cazul motorului studiat pentru ambele moduri de alimentare, este prezentată în figura 4.31.

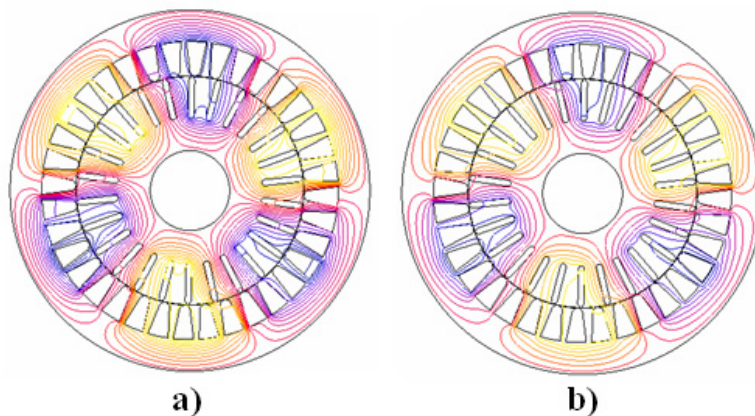


Fig. 4.31. Distribuția liniilor de câmp pentru motorul asincron trifazat cu puterea de 11 kW/1000 rpm alimentat: a) prin inverter la frecvența de 50 Hz; b) direct de la rețea

c) Componenta normală a inducției magnetice în întrefier este prezentată în figura 4.32.

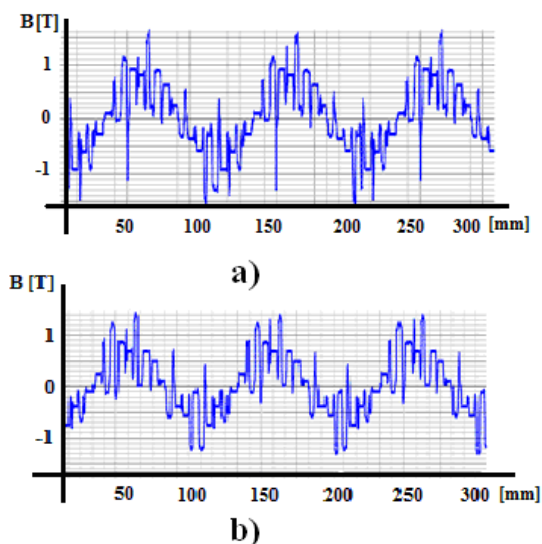


Fig. 4.32. Componenta normală a inducției magnetice în întrefier pentru motorul studiat, alimentat: a) prin inverter la frecvența de 50 Hz; b) direct de la rețea

În cazul alimentării prin inverter amplitudinea medie a inducției magnetice în întrefierul motorului este are valoarea de aproximativ 1.6, iar în cazul alimetării prin inverter amplitudinea medie a inducției magnetice în întrefier are valoarea de 1.3 T.

d) Nivelul continuu al presiunii acustice în funcție de amplitudinea armonicilor este prezentat în figura următoare.

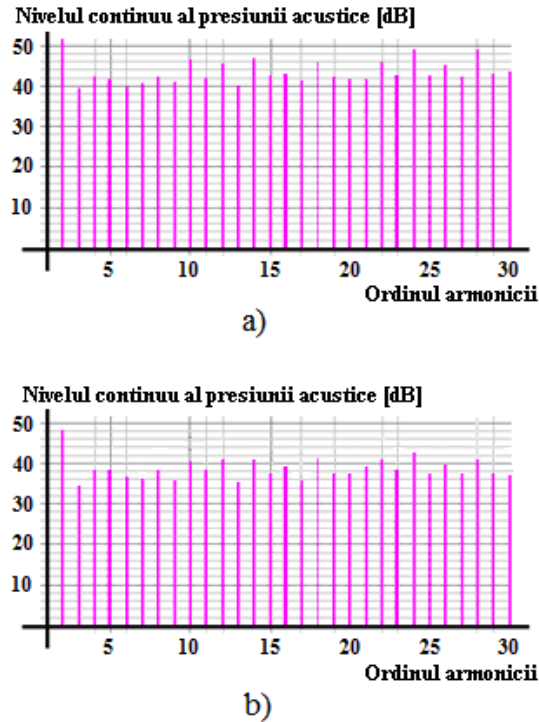


Fig. 4.33. Nivelul continuu al presiunii acustice în funcție de amplitudinea armonicilor pentru motorul studiat alimentat: a) prin invertor la frecvența de 50 Hz; b) direct de la rețea

Din punct de vedere al generării zgomotului magnetic, în cazul alimentării motorului de la invertor acesta are amplitudinea medie de 43.4 dB respectiv în cazul figurii (b) –alimentare de la rețea, amplitudinea medie a zgomotului magnetic este de 37.9 dB.

III. Alimentare prin invertor la frecvența de 60 Hz

a) Distribuția inducției magnetice (în secțiune) este prezentată în figura de mai jos.

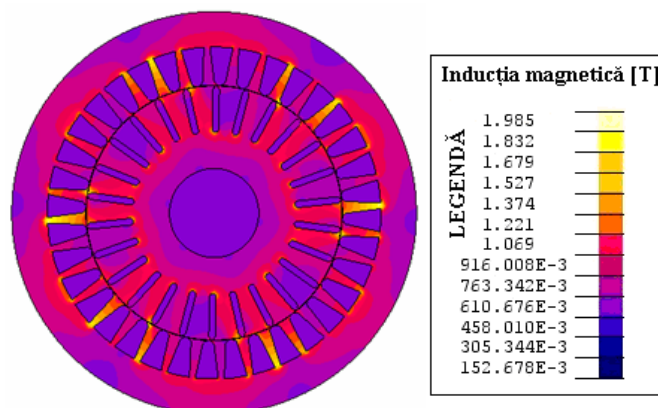


Fig. 4.34. Distribuția inducției magnetice (în secțiune) pentru motorul asincron trifazat cu puterea de 11 kW/1000 rpm alimentat prin invertor la frecvența de 60 Hz

b) Distribuția liniilor de câmp este prezentată în figura 4.35.

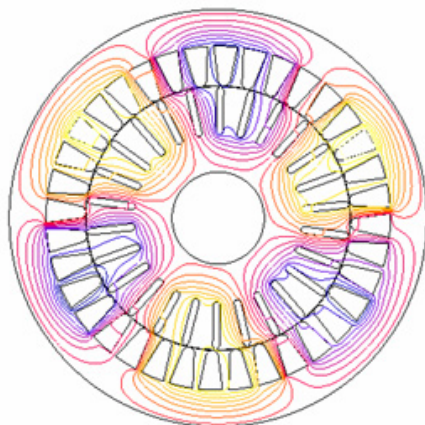


Fig. 4.35. Distribuția liniilor de câmp pentru motorul asincron trifazat cu puterea de 11 kW/1000 rpm alimentat prin inverter la frecvența de 60 Hz

c) Componenta normală a inducției magnetice în întrefier în situația alimentării prin inverter la frecvența de 60 Hz este prezentată în figura 4.36.

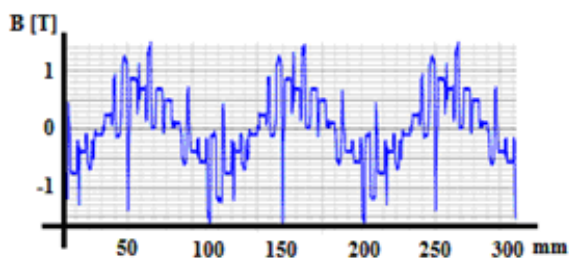


Fig. 4.36. Componenta normală a inducției magnetice în întrefier pentru motorul analizat alimentat prin inverter la frecvența de 60 Hz

Din grafic se observă faptul că, în cazul alimentării motorului prin inverter la frecvența de 60 Hz respectiv turație crescută, amplitudinea medie a inducției magnetice în întrefier are valoarea de 1.5 T.

d) Nivelul continuu al presiunii acustice în funcție de amplitudinea armonicilor este prezentat în figura 4.37.

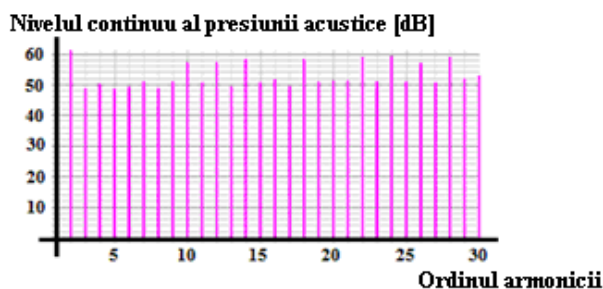


Fig. 4.37. Nivelul continuu al presiunii acustice în funcție de amplitudinea armonicilor pentru motorul studiat alimentare inverter -60 Hz

Amplitudinea maximă a nivelului de zgomot radiat în spectrul acustic de componenta magnetică a zgomotului total este de 60 dB respectiv valoarea medie a acestuia este de 51.6 dB.

Concluzii

Conform documentației tehnice de specialitate [30, 31, 32, 34] în cazul motoarelor de randament premium IE3, componenta magnetică a zgomotului radiat în mediu are cea mai mare pondere în producerea zgomotului total.

În cazul motorului asincron trifazat de putere 7.5 kW și turație 1000 rpm analizat în cadrul acestui subcapitol se observă faptul că în momentul alimentării prin inverter, datorită armonicilor introduse de acesta, distribuția inducției magnetice în întrefier este mult deformată crescând și amplitudinea acesteia iar valoarea zgomotului magnetic creat începe să crească odată cu creșterea valorii frecvenței de alimentare.

Din perspectiva analizei zgomotului magnetic s-a realizat o comparație a valorii acestuia pentru ambele motoare la cele trei frecvențe de alimentare, prin inverter (40 Hz, 50 Hz, 60 Hz) respectiv, alimentare de la rețea (50 Hz). Aceste rezultate sunt prezentate în tabelul următor.

Tabelul 4.9. Nivelul de zgomot magnetic generat de cele două motoare analizate respectiv 7.5 kW/1000 rpm și 11 kW/1000 rpm

Modul de alimentare și frecvența de alimentare	Valoarea medie a zgomotului magnetic modelat prin intermediul programului FLUX 2D [dB]	
	Motor 7.5 kW/1000 rpm	Motor 11 kW/1000 rpm
Inverter 40 Hz	44.8	42.3
Inverter 50 Hz	43.9	43.4
Rețea 50 Hz	39.8	37.9
Inverter 60 Hz	46.4	51.6

Datorită faptului că aceste două motoare sunt identice din punct de vedere constructiv, singura diferență este dată de caracteristicile înfășurărilor statorice, cuantificate prin valorile zgomotului magnetic modelat prezentate în tabelul anterior.

Topologia și modelul matematic al inverterului implementat pentru analiza zgomotului magnetic au fost realizate în conformitate cu schema reală a inverterului trifazat cu care s-au făcut măsurătorile practice de zgomot.

Din punct de vedere practic reducerea zgomotului magnetic (reducerea armonicilor câmpului) se realizează prin următoarele metode:

- alegerea numărului optim de creștături statorice și rotorice;
- alegerea unei scurtări corespunzătoare a pasului de înfășurare;
- înclinarea creștăturilor (la nivel de rotor);
- mărirea întrefierului motorului.

Pentru a limita oscilația datorată forțelor magnetice, este necesară o analiză foarte minuțioasă a acestor cauze din punctul de vedere al numărului corespunzător de creștături. După cum s-a arătat în capitolul anterior, raportul numărului de creștături din stator și din rotor are o influență esențială asupra forțelor radiale și implicit asupra zgomotului total.

CAPITOLUL 5

MĂSURĂRI ALE ZGOMOTULUI TOTAL ÎN CAZUL MOTOARELOR DE INDUCȚIE TRIFAZATE DE RANDAMENT PREMIUM. DETERMINARI EXPERIMENTALE (STUDIU DE CAZ)

5.1. Generalități

Din perspectivă substanțială măsurarea nivelului de zgomot produs de motoarele asincrone constă în măsurarea nivelului continuu al presiunii acustice A conform valorilor specificate în normativul IEC 60034-9 (Capitolul 1).

Această parte experimentală va prezenta o analiză a nivelelor de zgomot măsurate în cazul celor două motoare studiate. Astfel, pentru fiecare motor s-a întocmit o separare a zgomotelor în acord cu aparatul teoretic descris în subcapitolul 2.1 din structura capitolului 2.

Întreaga bază teoretică de analiză și măsurare a zgomotului s-a prezentat în cadrul capitolelor anterioare. În structura acestui capitol urmează să prezentăm rezultatele experimentale obținute prin măsurarea directă a nivelelor de zgomot generate de cele două tipuri de motoare analizate respectiv MAL 160M – 7,5 kW/1000 rpm și MAL 160L – 11kW/1000 rpm.

Setul de măsurători s-a realizat în camera semianecoică (fig. 5.1) a întreprinderii Electroprecizia Săcele în concordanță cu standardele actuale (CEI 43-1; ISO 1680/1).



Fig. 5.1. Camera semianecoică a întreprinderii Electroprecizia Săcele

Cele două motoare au funcționat în gol, iar modul de alimentare a fost direct de la rețea, dar și prin convertor de frecvență trifazat, alimentat la frecvențele 40Hz, 50 Hz , 60 Hz.

Convertorul de frecvență trifazat utilizat (fig. 5.2) este de tip ALTIVAR 58 – Telemecanique cu puterea de 15kW, iar frecvența de comutație (care are un rol semnificativ în generarea zgomotului) este de 4kHz.



Fig. 5.2. Convertor de frecvență de tip ALTIVAR 58

Sonometrul utilizat este de tip 2250 Bruel&Kjaer (fig. 5.3) ale cărui caracteristici tehnice au fost prezentate în subcapitolul „Generalități” din structura capitolului 3.



Fig. 5.3. Sonometru Bruel&Kjaer de tip 2250

În cazul de față, analiza zgomotului măsurat, a cuprins separarea zgomotelor generate de motoarele analizate. Particularizând, această separare parcurge următoarele etape:

I. Determinarea zgomotului mecanic+aerodinamic

Aceasta s-a realizat prin antrenarea motorului din exterior (cu ajutorul unei curele de transmisie):

- fără ventilator montat – zgomotul măsurat este zgomotul de rulment
- cu ventilatorul montat – zgomotul măsurat este cel mecanic (zgomot de rulment+aerodinamic)

II. Determinarea zgomotului magnetic

Zgomotul magnetic se determină prin alimentarea motorului direct de la rețea/invertor fără ventilator cuplat. Nivelul de zgomot măsurat în acest caz este dat de zgomotul magnetic + mecanic. Valoarea nivelului de zgomot mecanic se cunoaște, iar prin eliminarea acesteia rezultă nivelul de zgomot magnetic.

În situația în care motorul are ventilatorul montat și este alimentat, nivelul de zgomot măsurat este cel total generat de motor. În cele ce urmează, măsurătorile de zgomot, determinate prin intermediul

sonometrului, sunt prezentate pentru fiecare motor – sub formă grafică, pe intervale de zgomot (nivele continue ale presiunii acustice ponderate A) de până la 120 dB – respectiv, frecvențe începând de la 12,5 Hz până la maxim 20 kHz (spectrul audio perceput de urechea umană).

5.2. Măsurări de zgomot pentru motorul de tip MAL 160 M, cu puterea de 7.5kW/1000 rpm

În continuare se vor prezenta măsurătorile **nivelului continuu al presiunii acustice ponderate A – LAeq**, obținute în cazul motorului de randament IE3 de tip MAL 160M. S-a considerat alimentarea prin invertor la frecvențele de 40Hz, 50Hz și respectiv 60Hz dar și de la rețea.

I. Alimentare prin invertor la frecvența de 40 Hz

A. Nivelul de zgomot total

Nivelul continuu al presiunii acustice ponderate A: 68,8 dB.

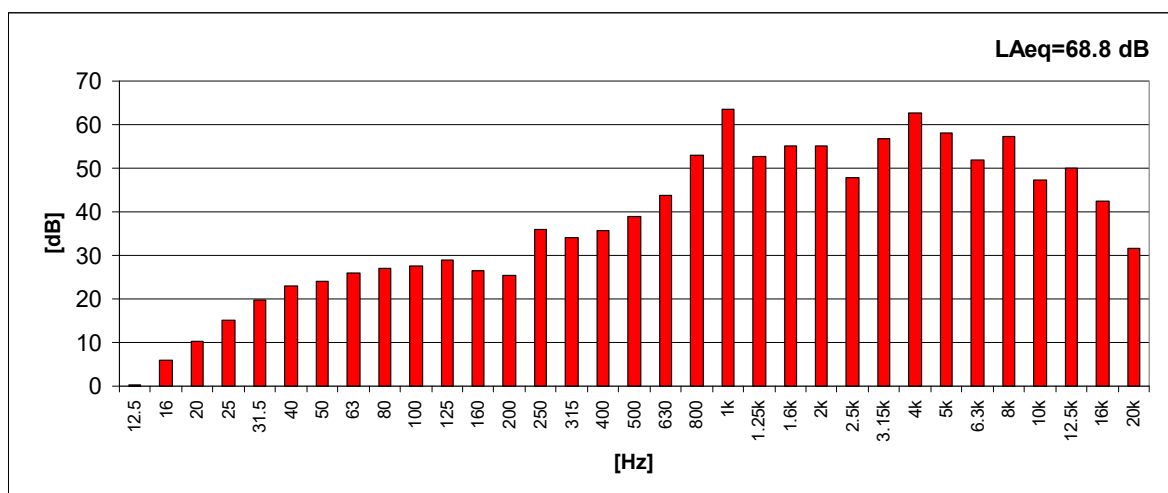


Fig. 5.4. Nivelul de zgomot total pentru motorul de tip MAL 160 M în cazul alimentării prin invertor la frecvența de 40 Hz

B. Nivelul de zgomot magnetic

Nivelul continuu al presiunii acustice ponderate A: 49,2 dB.

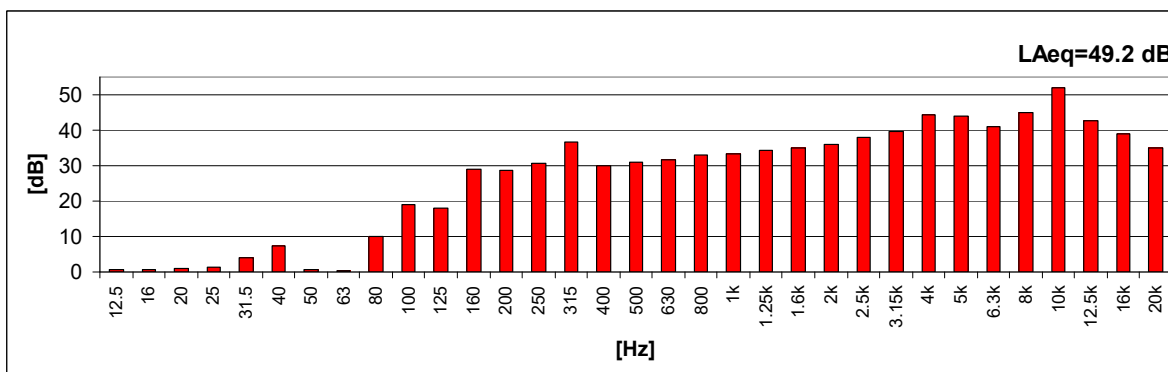


Fig. 5.5. Nivelul de zgomot magnetic pentru motorul de tip MAL 160 M în cazul alimentării prin invertor la frecvența de 40 Hz

C. Nivelul de zgomot mecanic

Nivelul continuu al presiunii acustice ponderate A: 8,2 dB.

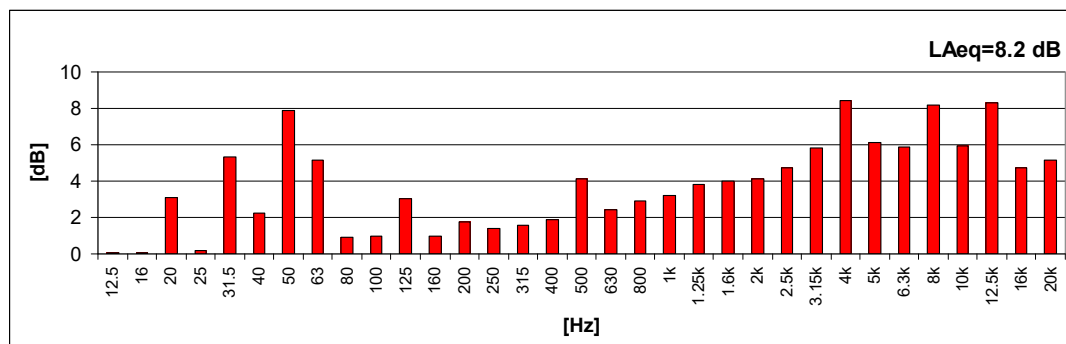


Fig. 5.6. Nivelul de zgomot mecanic pentru motorul de tip MAL 160 M în cazul alimentării prin inverter la frecvența de 40 Hz

D. Nivelul de zgomot aerodinamic

Nivelul continuu al presiunii acustice ponderate A: 11,4 dB.

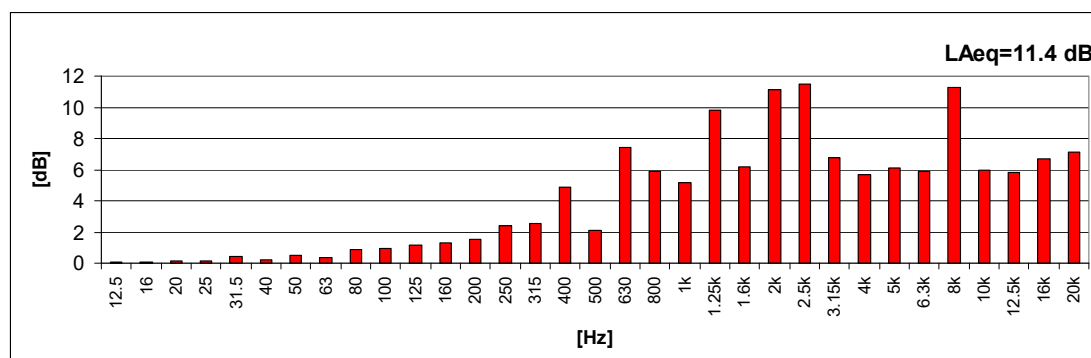


Fig. 5.7. Nivelul de zgomot mecanic pentru motorul de tip MAL 160 M în cazul alimentării prin inverter la frecvența de 40 Hz

II. Alimentare prin inverter la frecvența de 50 Hz

A. Nivelul de zgomot total

Nivelul continuu al presiunii acustice ponderate A: 68,0 dB.

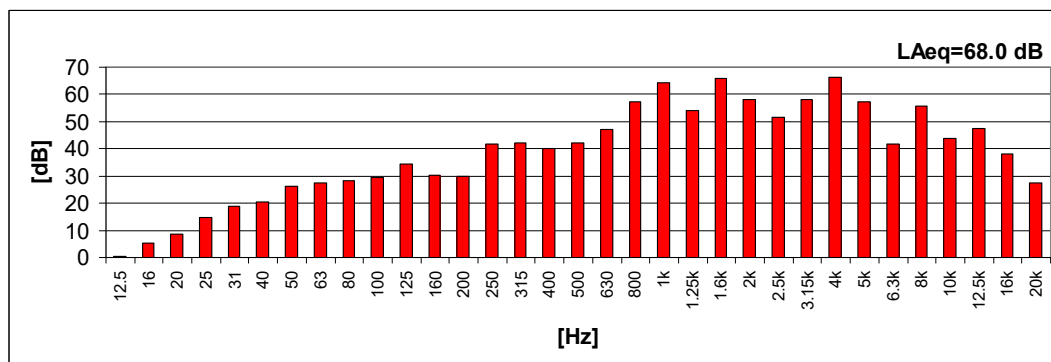


Fig. 5.8. Nivelul de zgomot total pentru motorul de tip MAL 160 M în cazul alimentării prin inverter la frecvența de 50 Hz

B. Nivelul de zgomot magnetic

Nivelul continuu al presiunii acustice ponderate A: 47,4 dB.

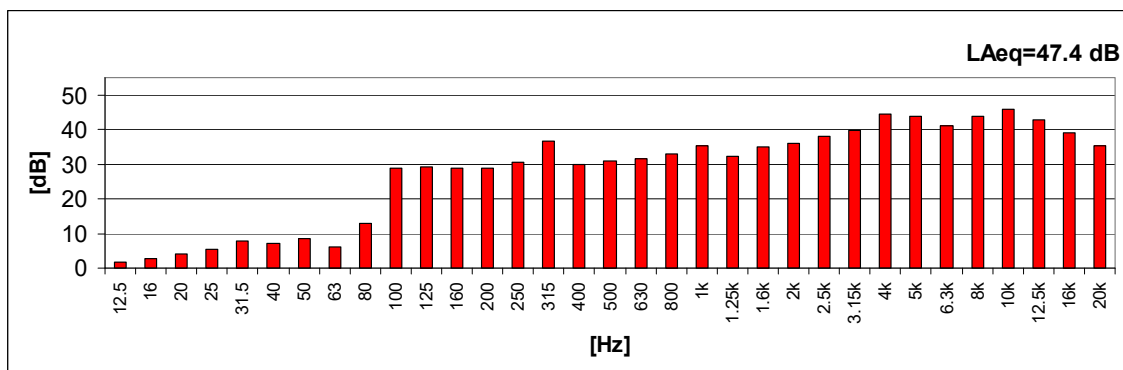


Fig. 5.9. Nivelul de zgomot magnetic pentru motorul de tip MAL 160 M în cazul alimentării prin inverter la frecvența de 50 Hz

C. Nivelul de zgomot mecanic

Nivelul continuu al presiunii acustice ponderate A: 8,7 dB.

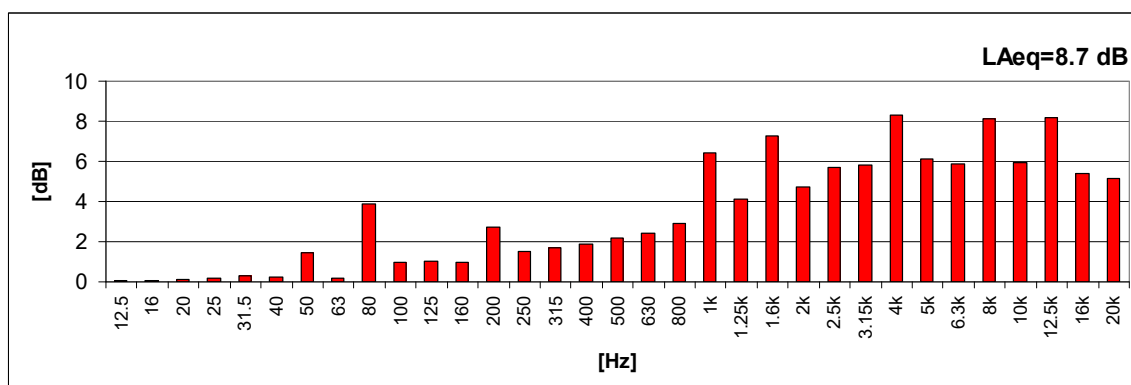


Fig. 5.10. Nivelul de zgomot mecanic pentru motorul de tip MAL 160 M în cazul alimentării prin inverter la frecvența de 50 Hz

D. Nivelul de zgomot aerodinamic

Nivelul continuu al presiunii acustice ponderate A: 11,9 dB.

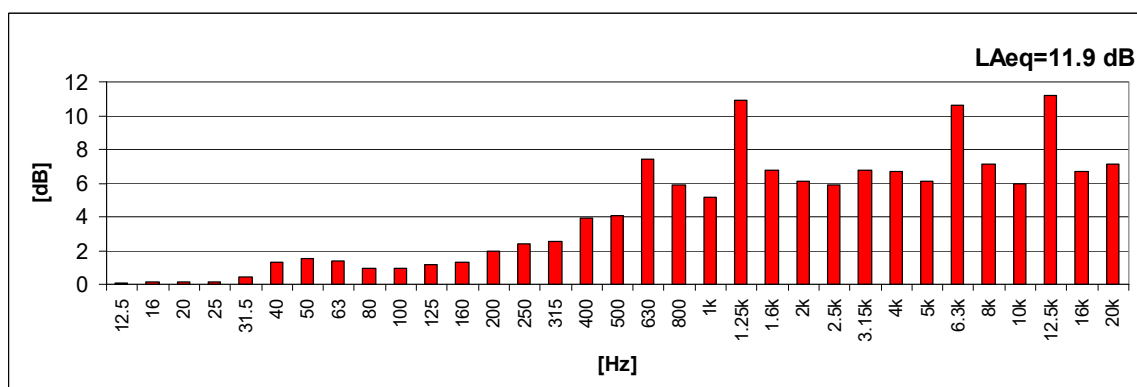


Fig. 5.11. Nivelul de zgomot mecanic pentru motorul de tip MAL 160 M în cazul alimentării prin inverter la frecvența de 50 Hz

III. Alimentare prin invertor la frecvența de 60 Hz

A. Nivelul de zgomot total

Nivelul continuu al presiunii acustice ponderate A: 69,3 dB.

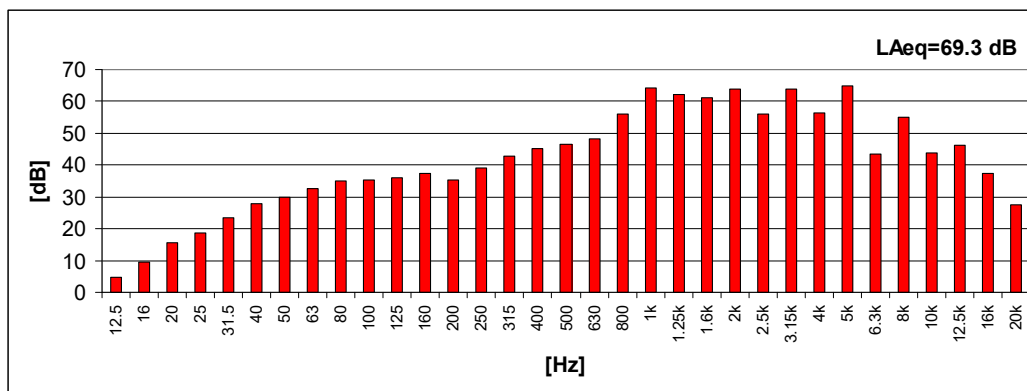


Fig. 5.12. Nivelul de zgomot total pentru motorul de tip MAL 160 M în cazul alimentării prin invertor la frecvența de 60 Hz

B. Nivelul de zgomot magnetic

Nivelul continuu al presiunii acustice ponderate A: 47,9 dB.

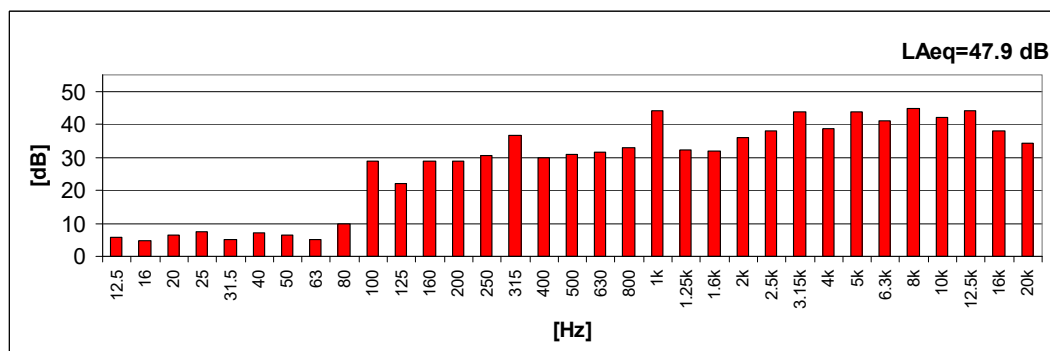


Fig. 5.13. Nivelul de zgomot magnetic pentru motorul de tip MAL 160 M în cazul alimentării prin invertor la frecvența de 60 Hz

C. Nivelul de zgomot mecanic

Nivelul continuu al presiunii acustice ponderate A: 8.9 dB.

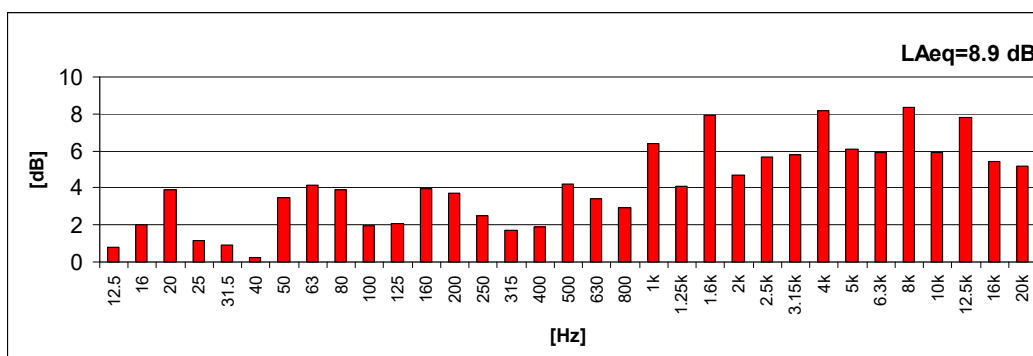


Fig. 4.14. Nivelul de zgomot mecanic pentru motorul de tip MAL 160 M în cazul alimentării prin invertor la frecvența de 60 Hz

D. Nivelul de zgomot aerodinamic

Nivelul continuu al presiunii acustice ponderate A: 12,5 dB.

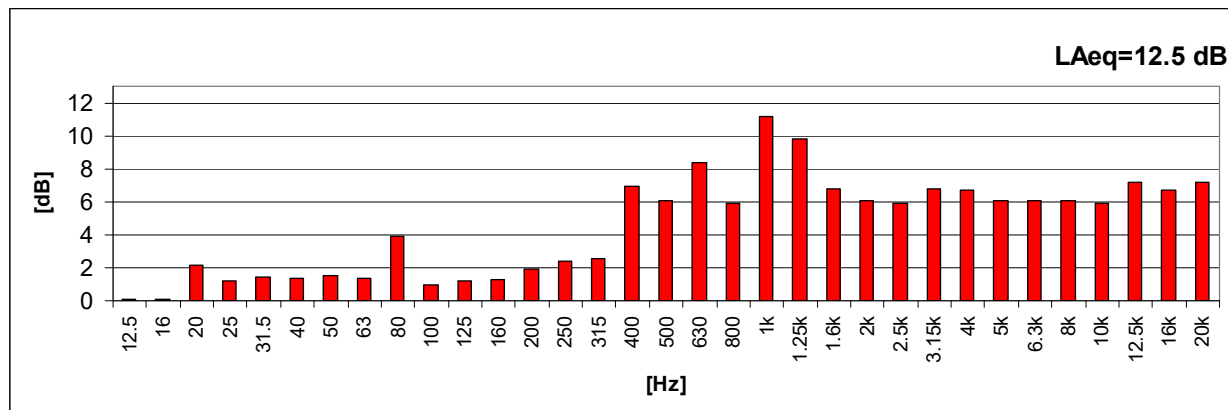


Fig. 4.15. Nivelul de zgomot mecanic pentru motorul de tip MAL 160 M în cazul alimentării prin inverter la frecvența de 60 Hz

IV. Alimentare directă de la rețea

În cazul alimentării directe de la rețeaua trifazată, datorită curentului mare absorbit în momentul pornirii, motorul fost alimentat prin intermediul circuitului stea-triunghi, care a redus curentul nominal absorbit. Întreaga instalație a fost plasată în exteriorul camerei semianecoice, astfel încât măsurătorile nu au fost afectate.

A. Nivelul de zgomot total

Nivelul continuu al presiunii acustice ponderate A: 66.1 dB.

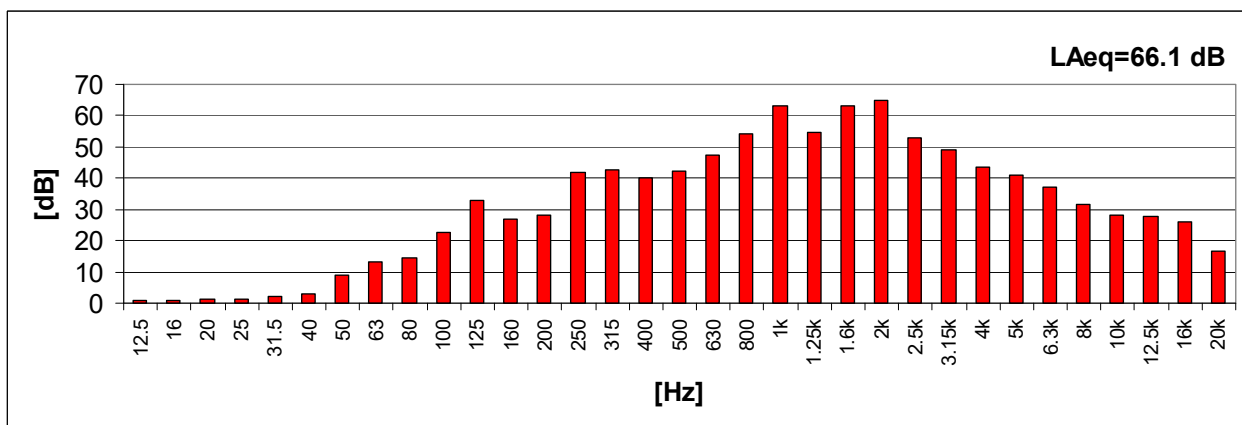


Fig. 5.16. Nivelul de zgomot total pentru motorul de tip MAL 160 M în cazul alimentării directe de la rețeaua trifazată

B. Nivelul de zgomot magnetic

Nivelul continuu al presiunii acustice ponderate A: 45,6 dB.

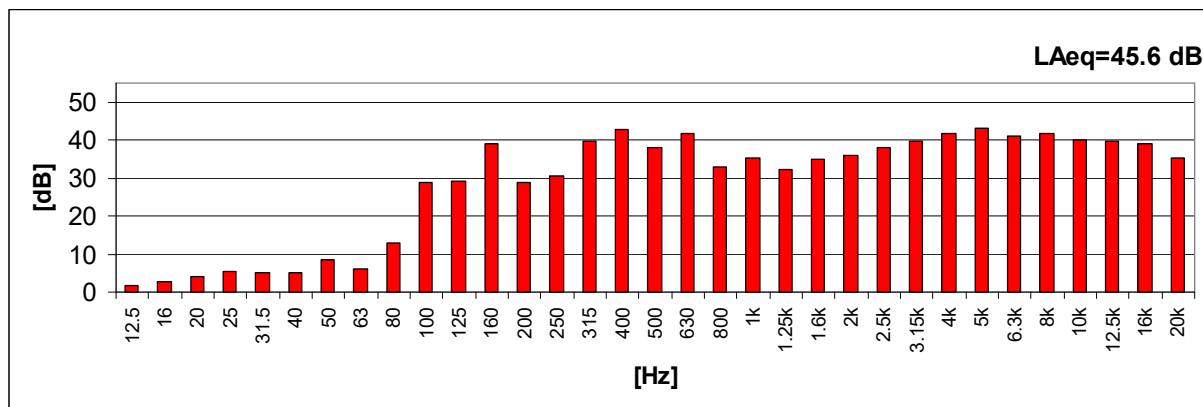


Fig. 5.17. Nivelul de zgomot magnetic pentru motorul de tip MAL 160 M în cazul alimentării directe de la rețeaua trifazată

C. Nivelul de zgomot mecanic

Nivelul continuu al presiunii acustice ponderate A: 8,6 dB.

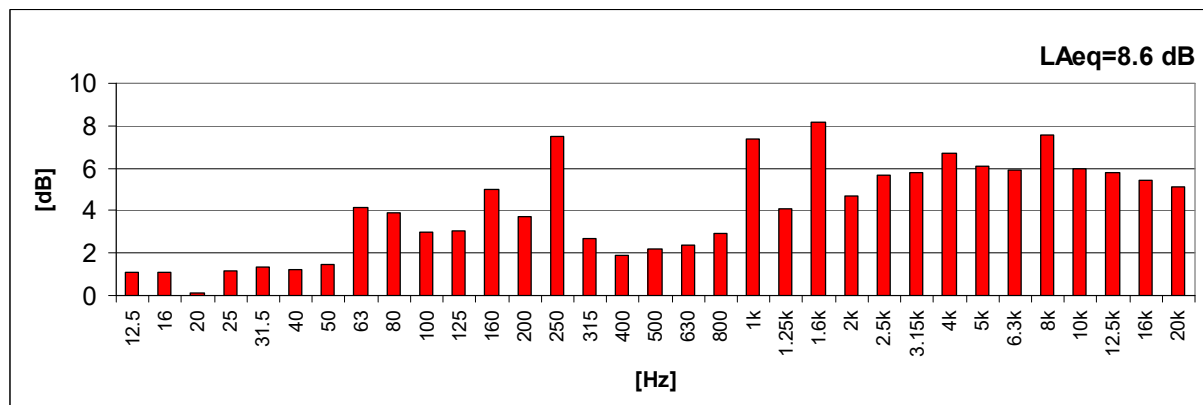


Fig. 5.18. Nivelul de zgomot mecanic pentru motorul de tip MAL 160 M în cazul alimentării directe de la rețeaua trifazată

D. Nivelul de zgomot aerodinamic

Nivelul continuu al presiunii acustice ponderate A: 11,9 dB.

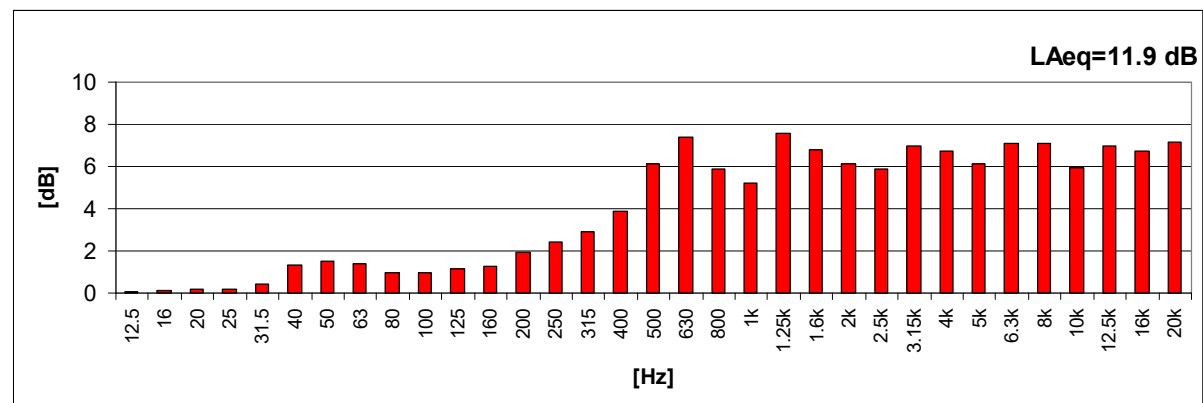


Fig. 5.19. Nivelul de zgomot mecanic pentru motorul de tip MAL 160 M în cazul alimentării directe de la rețeaua trifazată

Amplasarea sonometrului la distanța de 1m față de sursă –(motor), (conform reglementărilor prezentate în capitolul 1) s-a efectuat prin intermediul unui trepied după cum se prezintă în figura 5.20.



Fig. 5.20. Amplasarea sonometrului la nivelul motorului analizat

5.3. Măsurări de zgomot pentru motorul de tip MAL 160 L, cu puterea de 11kW/1000 rpm

În mod similar s-au efectuat măsurători asupra **nivelului continuu al presiunii acustice ponderate A** și pentru motorul de tip MAL 160L, cu puterea de 11 kW. Rezultatele obținute sunt prezentate după algoritmul primului motor studiat (subcapitolul 5.2). În prima fază motorul este alimentat prin invertor la cele trei frecvențe 40 Hz, 50 Hz și respectiv 60 Hz, iar la final alimentat direct de la rețeaua trifazată.

I. Alimentare prin invertor la frecvența de 40 Hz

A. Nivelul de zgomot total

Nivelul continuu al presiunii acustice ponderate A: 69,6 dB.

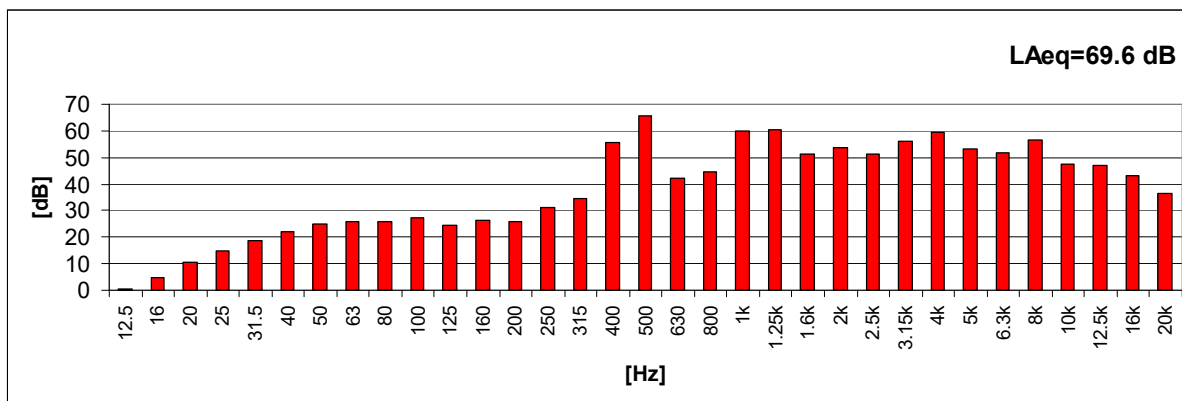


Fig. 5.21. Nivelul de zgomot total pentru motorul de tip MAL 160 L în cazul alimentării prin invertor la frecvența de 40 Hz

B. Nivelul de zgomot magnetic

Nivelul continuu al presiunii acustice ponderate A: 50,4 dB.

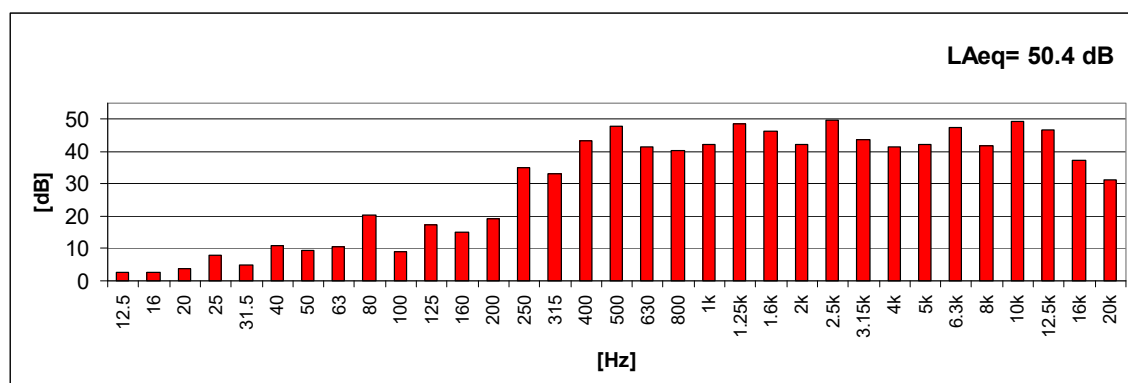


Fig. 5.22. Nivelul de zgomot magnetic pentru motorul de tip MAL 160 L în cazul alimentării prin inverter la frecvența de 40 Hz

C. Nivelul de zgomot mecanic

Nivelul continuu al presiunii acustice ponderate A: 8,3 dB.

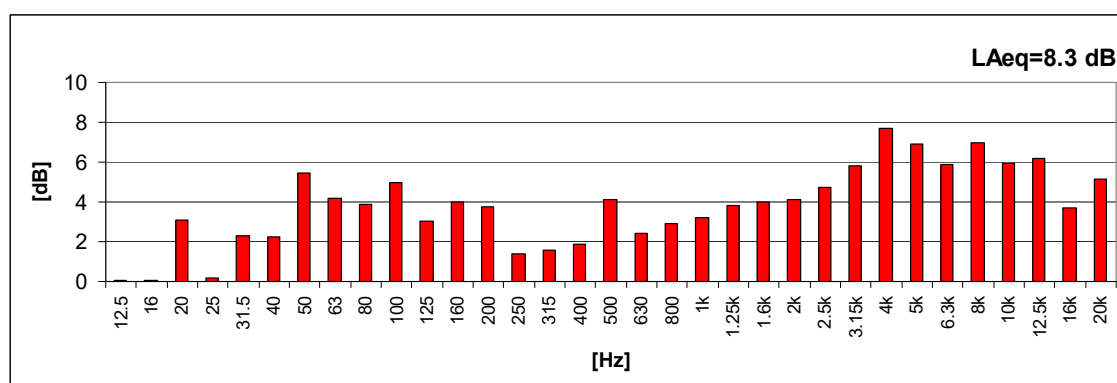


Fig. 5.23. Nivelul de zgomot mecanic pentru motorul de tip MAL 160 L în cazul alimentării prin inverter la frecvența de 40 Hz

D. Nivelul de zgomot aerodinamic

Nivelul continuu al presiunii acustice ponderate A: 10,9 dB.

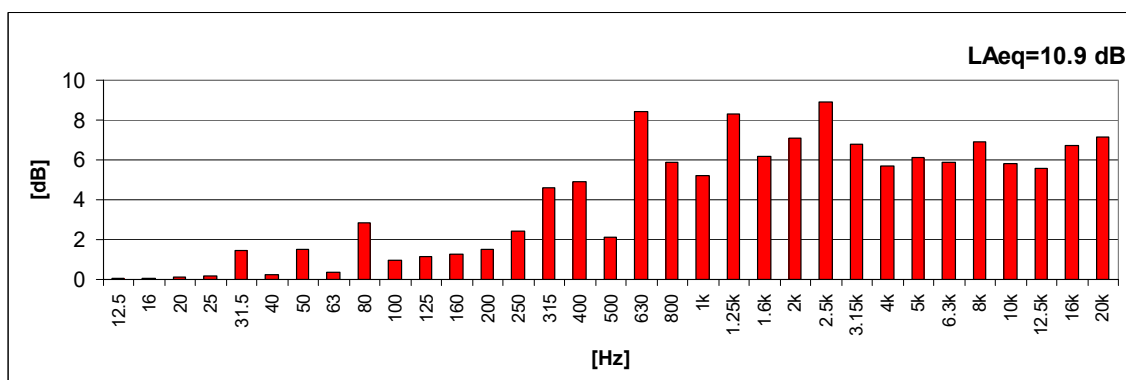


Fig. 5.24. Nivelul de zgomot mecanic pentru motorul de tip MAL 160 L în cazul alimentării prin inverter la frecvența de 40 Hz

II. Alimentare prin invertor la frecvența de 50 Hz

A. Nivelul de zgomot total

Nivelul continuu al presiunii acustice ponderate A: 68,8 dB.

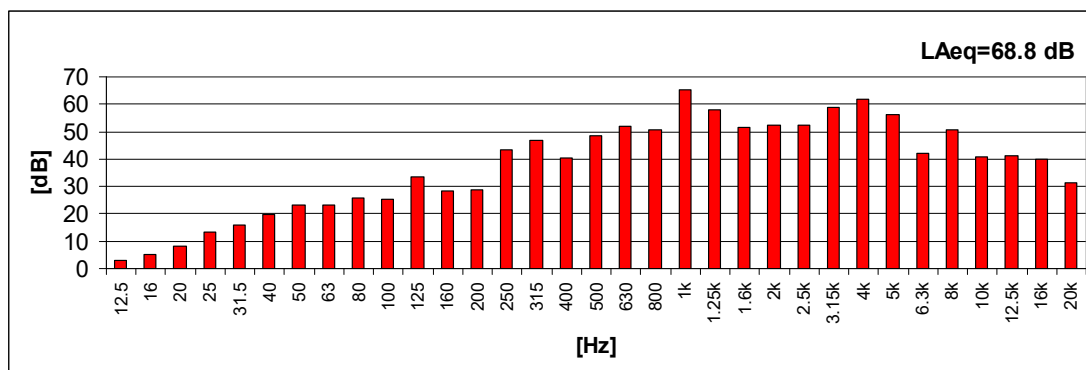


Fig. 5.25. Nivelul de zgomot total pentru motorul de tip MAL 160 L în cazul alimentării prin invertor la frecvența de 50 Hz

B. Nivelul de zgomot magnetic

Nivelul continuu al presiunii acustice ponderate A: 49,2 dB.

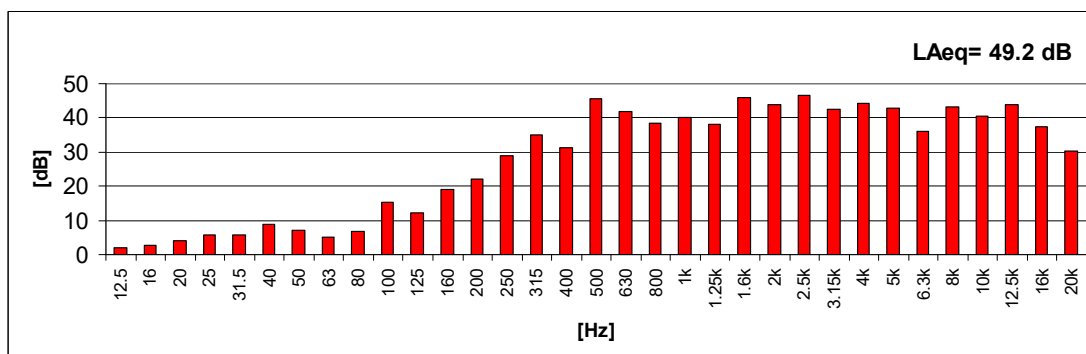


Fig. 5.26. Nivelul de zgomot magnetic pentru motorul de tip MAL 160 L în cazul alimentării prin invertor la frecvența de 50 Hz

C. Nivelul de zgomot mecanic

Nivelul continuu al presiunii acustice ponderate A: 8,4 dB.

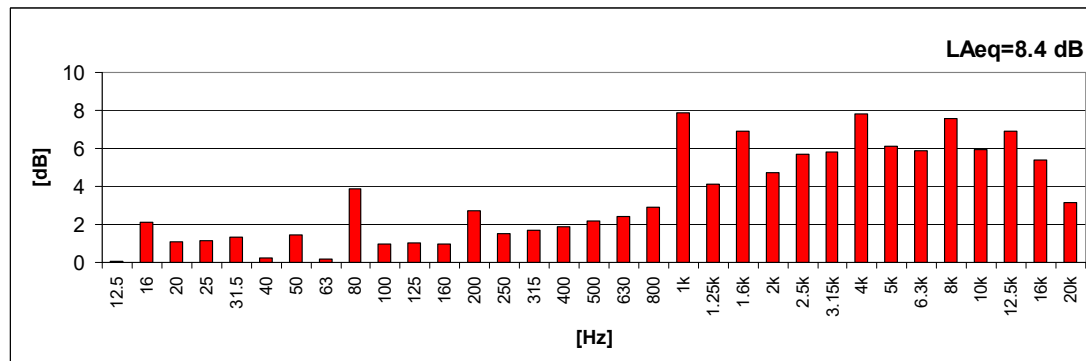


Fig. 5.27. Nivelul de zgomot mecanic pentru motorul de tip MAL 160 L în cazul alimentării prin invertor la frecvența de 50 Hz

D. Nivelul de zgomot aerodinamic

Nivelul continuu al presiunii acustice ponderate A: 11,2 dB.

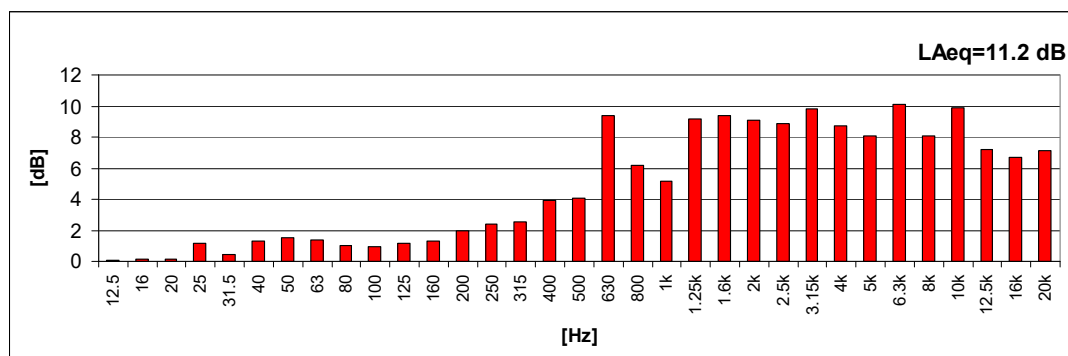


Fig. 5.28. Nivelul de zgomot mecanic pentru motorul de tip MAL 160 L în cazul alimentării prin invertor la frecvența de 50 Hz

III. Alimentare prin invertor la frecvența de 60 Hz

A. Nivelul de zgomot total

Nivelul continuu al presiunii acustice ponderate A: 69,4 dB.

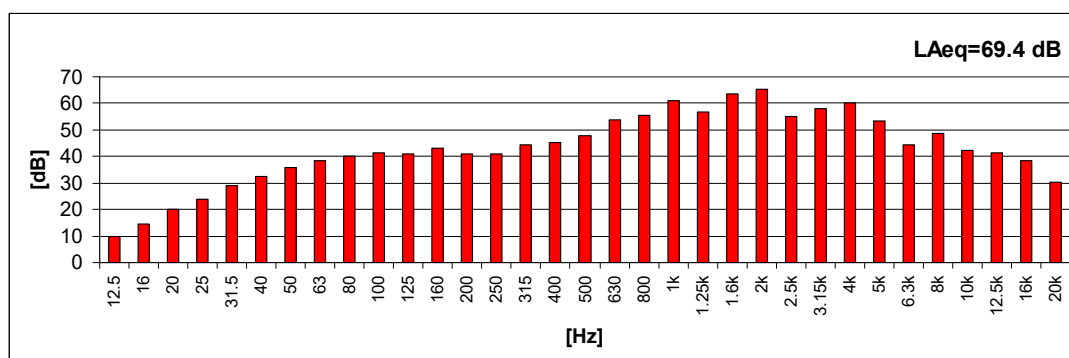


Fig. 5.29. Nivelul de zgomot total pentru motorul de tip MAL 160 L în cazul alimentării prin invertor la frecvența de 60 Hz

B. Nivelul de zgomot magnetic

Nivelul continuu al presiunii acustice ponderate A: 48,6 dB.

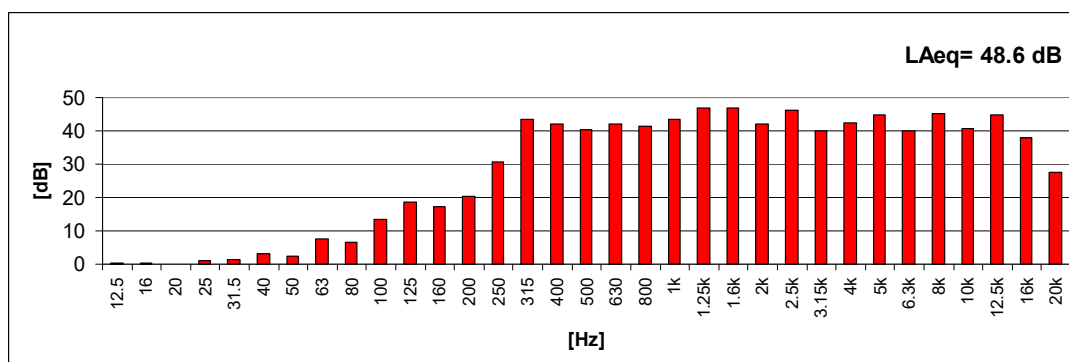


Fig. 5.30. Nivelul de zgomot magnetic pentru motorul de tip MAL 160 L în cazul alimentării prin invertor la frecvența de 60 Hz

C. Nivelul de zgomot mecanic

Nivelul continuu al presiunii acustice ponderate A: 7,9 dB.

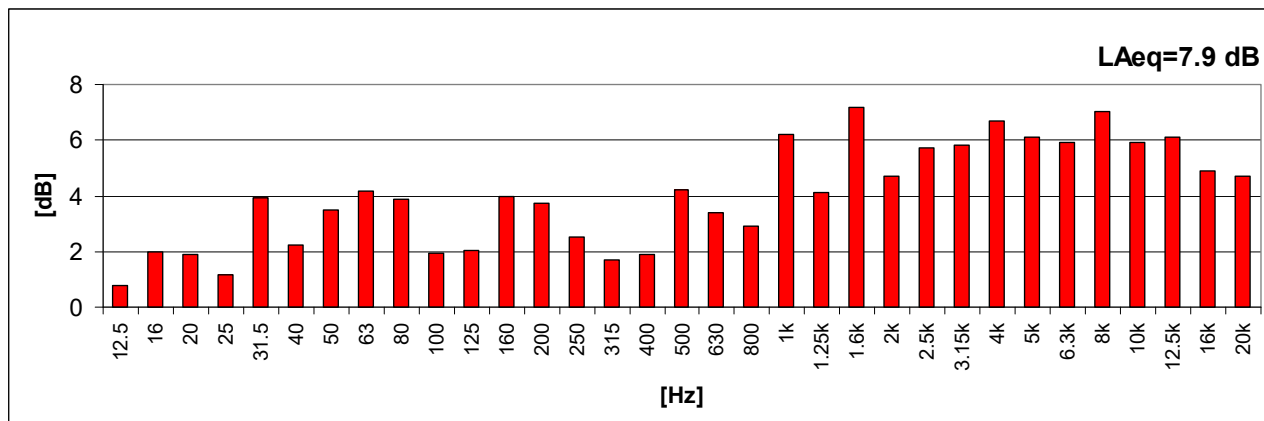


Fig. 5.31. Nivelul de zgomot mecanic pentru motorul de tip MAL 160 L în cazul alimentării prin inverter la frecvența de 60 Hz

D. Nivelul de zgomot aerodinamic

Nivelul continuu al presiunii acustice ponderate A: 12,9 dB.

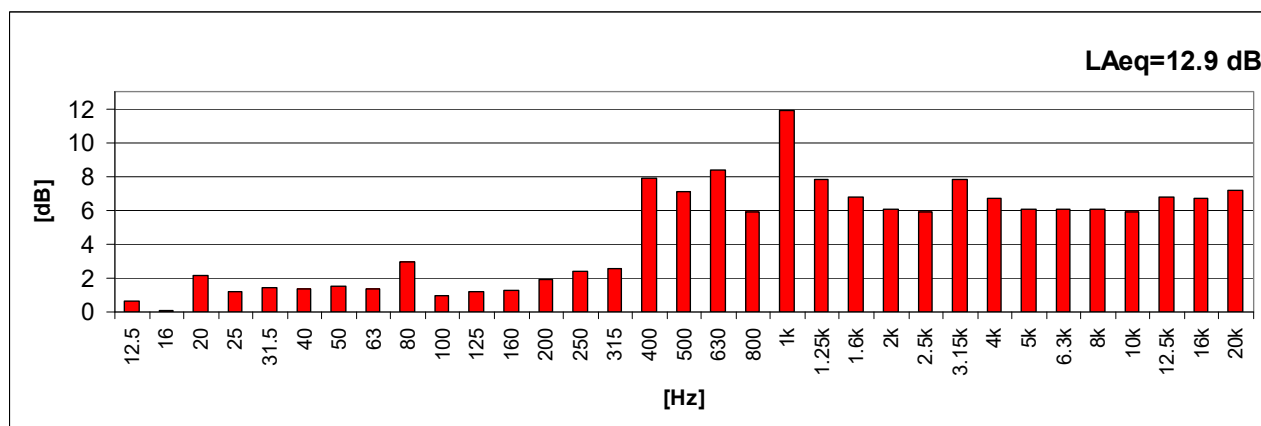


Fig. 5.32. Nivelul de zgomot mecanic pentru motorul de tip MAL 160 L în cazul alimentării prin inverter la frecvența de 60 Hz

IV. Alimentare directă de la rețea

În situația alimentării directe de la rețea, s-a procedat în mod similar cu situația anterioară, respectiv, reducerea curentului absorbit la pornire prin metoda de alimentare stea-triunghi. Nivelurile de zgomot obținute sunt prezentate în subpunctele următoare:

A. Nivelul de zgomot total

Nivelul continuu al presiunii acustice ponderate A: 67,9 dB.

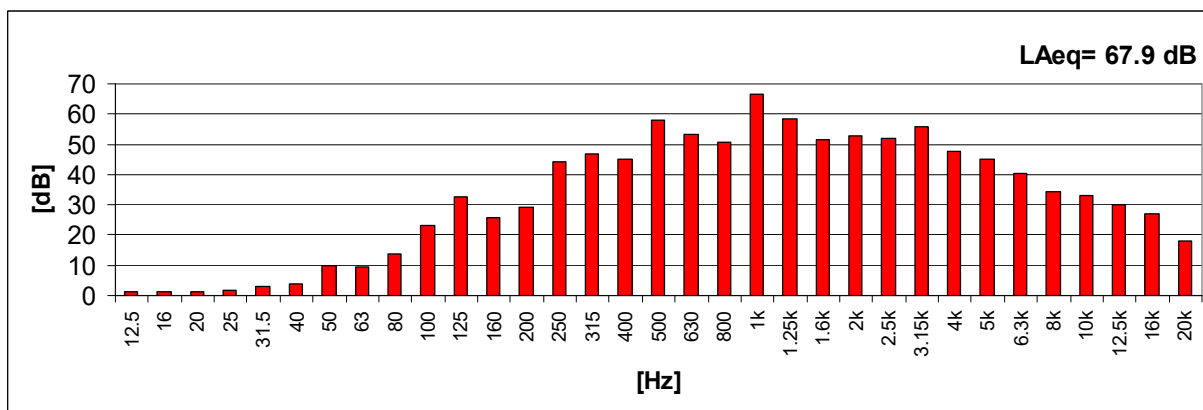


Fig. 5.33. Nivelul de zgomot total pentru motorul de tip MAL 160 L în cazul alimentării directe de la rețeaua trifazată

B. Nivelul de zgomot magnetic

Nivelul continuu al presiunii acustice ponderate A: 47,3 dB.

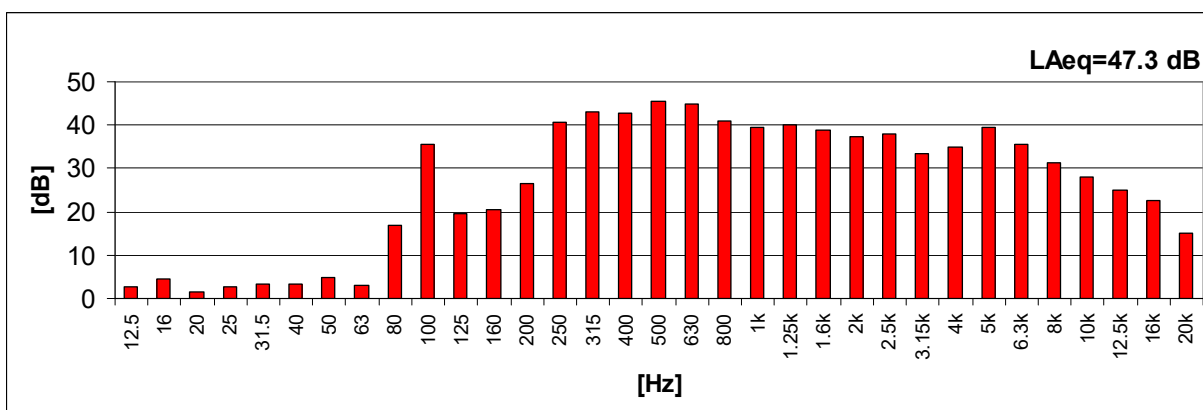


Fig. 5.34. Nivelul de zgomot magnetic pentru motorul de tip MAL 160 L în cazul alimentării directe de la rețeaua trifazată

C. Nivelul de zgomot mecanic

Nivelul continuu al presiunii acustice ponderate A: 8,6 dB.

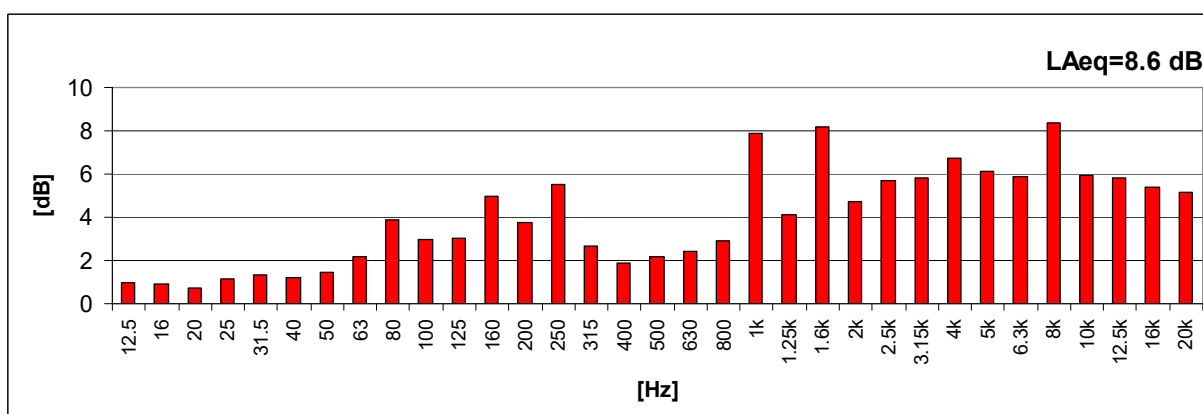


Fig. 5.35. Nivelul de zgomot mecanic pentru motorul de tip MAL 160 L în cazul alimentării directe de la rețeaua trifazată

D. Nivelul de zgomot aerodinamic

Nivelul continuu al presiunii acustice ponderate A: 12 dB.

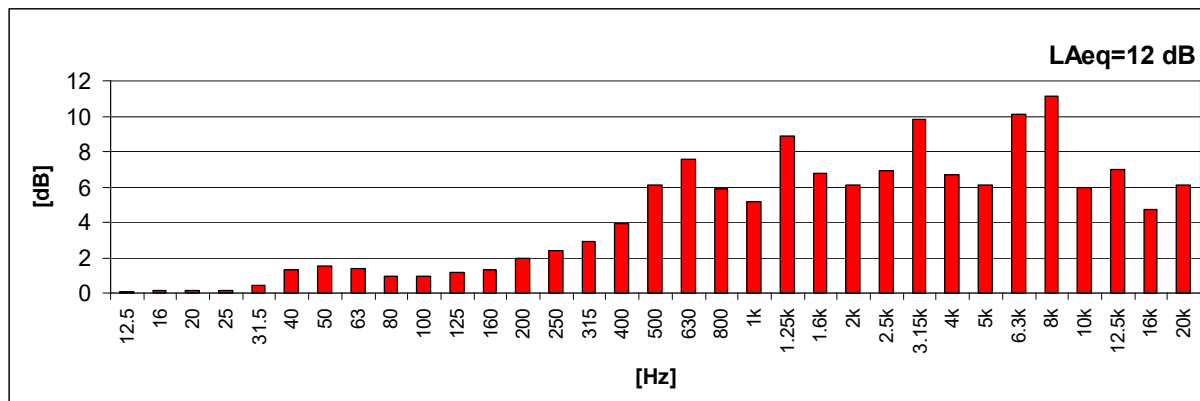


Fig. 5.36. Nivelul de zgomot mecanic pentru motorul de tip MAL 160 L în cazul alimentării directe de la rețeaua trifazată

Întreaga instalație de măsurare a nivelului de zgomot pentru motorul asincron de randament IE3 cu puterea de 11 kW/1000 rpm este prezentată în figura de mai jos.



Fig. 5.37. Instalația de măsurare a zgomotului pentru motorul de tip MAL 160 L – 11kW/1000 rpm

5.4. Concluzii

Toate măsurătorile de zgomot efectuate, asupra celor două motoare prezentate mai sus, se încadrează în clasele de zgomot specificate în standardul CEI 60034, partea a 9 a. Din punct de vedere formal, se observă că cea mai mare pondere, la generarea zgomotului total, (în cazul ambelor

motoare analizate) o are zgomotul magnetic. Fapt dovedit și din analizele predictive realizate împreună cu producătorul.

Odată cu implementarea categoriei de randament premium IE3, zgomotele de natură mecanică au fost reduse, prin înlocuirea rulmenților cu role în rulmenți cu bile, care au un nivel de zgomot propriu scăzut. Și, totodată, prin dimensionarea optimă a ventilatorului, care generează în mod direct zgomotul aerodinamic.

Zgomotul magnetic (după cum s-a prezentat în capitolele anterioare) este dat de mai mulți factori constructivi, respectiv: distribuția neuniformă a creștăturilor, înclinarea creștăturilor, calitatea tolelor. Pierderile datorate calității tolelor [18,38] au o însemnătate substanțială în generarea de armonici și, implicit, în creșterea zgomotului magnetic.

Ponderea nivelelor de zgomot caracteristice, pentru cele două motoare studiate, este prezentată în figurile 5.38 respectiv 5.39.

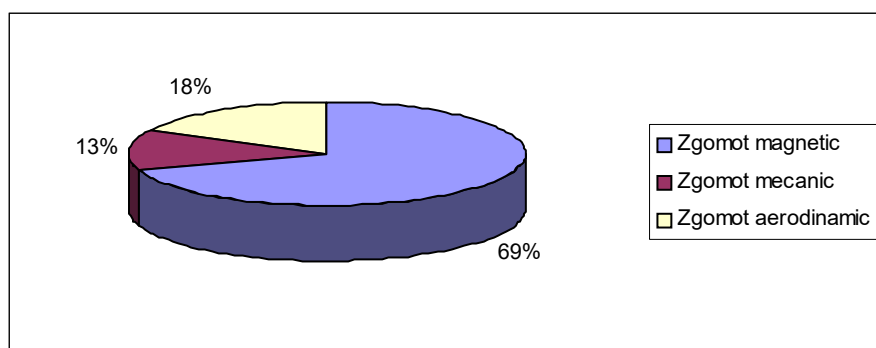


Fig. 5.38. Ponderele nivelurilor de zgomot caracteristice pentru motorul de tip MAL 160 M -7,5kW-1000rpm

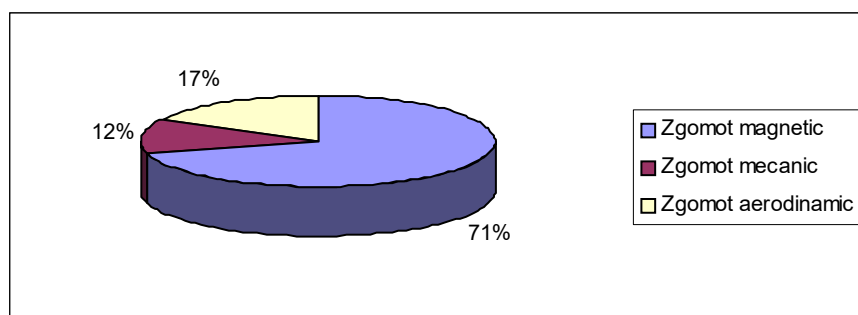
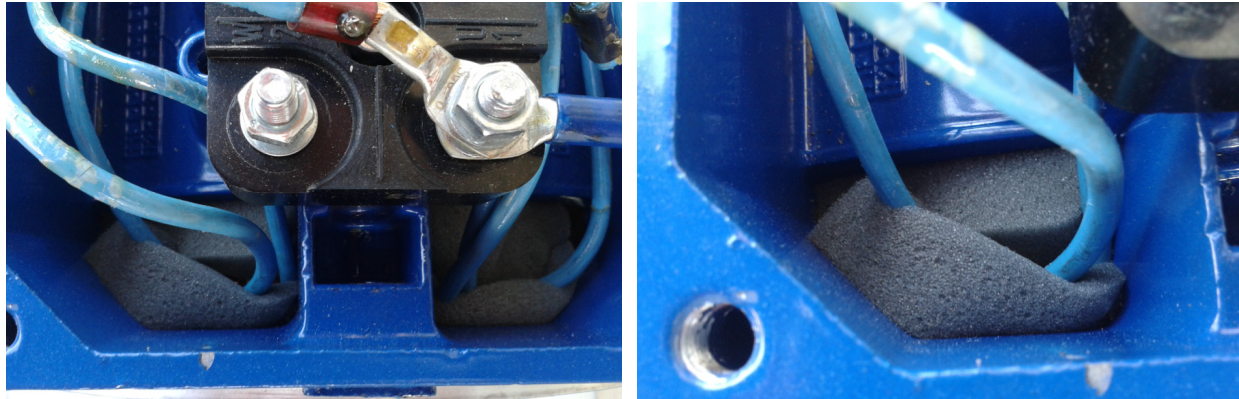


Fig. 5.39. Ponderele nivelurilor de zgomot caracteristice pentru motorul de tip MAL 160 L -11kW-1000rpm

Valorile caracteristice de zgomote sunt foarte apropiate pentru cele două motoare, întrucât geometria acestora este identică. Diferența constă, evident, în lungimea pachetului de tole și, implicit, a miezurilor magnetice rotorice și statorice, datorită diferențelor de putere (7,5kW respectiv 11kW).

Pentru atenuarea vibrațiilor mecanice, ce pot apărea în regim normal de funcționare, asupra conductoarelor care ies din înfășurări și sunt conectate la cutia de borne, s-a practicat o protecție a acestora cu un burete amortizor de vibrații și zgomote în spațiul rămas dintre fiecare spiră și carcasă. Această particularitate este prezentată grafic în figurile de mai jos.



**Fig. 4.58. Protecția împotriva vibrațiilor
a conductoarelor de legătură în cazul motorului de tip MAL 160M**

Atât nivelul de zgomot cât și cel de vibrații au o reflecție directă în randamentul motoarelor asincrone. Orice vibrație peste limite indică faptul că s-a produs o anomalie în funcționarea motorului și, implicit, nivelul de zgomot generat va crește.

BIBLIOGRAFIE

- [1] Akcay, H., Germen, E., “*Subspace-Based Identification of Acoustic Noise Spectra in Induction Motors*”, IEEE Transactions on “*Energy Conversion*” Volume:PP, Issue: 99, pp.1 – 9, Jul. 2014.
- [2] Anghel, B. „*Studiul performanțelor energetice ale mașinilor electrice utilizând programe bazate pe metoda elementului finit*”, Teză de doctorat, Universitatea Tehnică „Gheorghe Asachi”, Iași, 2013.
- [3] Anghel, B., Livadaru, L., Simion, Al., Munteanu, A., Vlăsceanu, S., “*Upgrade of an induction motor to superior power level*”, Proceedings of „*SIELMEN 2013 Conference*”, Chișinău, 2013.
- [4] Baptista, B.R.O., Abadi, M.B., Mendes, A.M.S., “*The performance of a three-phase induction motor fed by a three-level NPC converter with fault tolerant control strategies*”, Proceedings of „*9th IEEE International Symposium on Diagnostics for Electric Machines, Power Electronics and Drives (SDEMPED)*”, pp. 497-504, Valencia, 2013.
- [5] Belmans, R., D’Hondt, L., Vandenput, A. J., Geysen, W. “*Analysis of the audible noise of three-phase squirrel cage induction motor supplied by inverters*”, IEEE “*Transactions on Industry Applications*”, Vol. IA-23, No. 5, pp. 842-847, 1987.
- [6] Belmans, R., Verdyck D., Geysen, W., Findlay, R.D. “*Electro-mechanical analysis of the audible noise of inverter-fed squirrel-cage induction motor*”, Conference record of the 1989 IEEE “*Industry Applications Society Annual Meeting*”, Vol. 1, pp. 232-237, 1989.
- [7] Belmans, R., Verdyck, D., Geysen, W., Findlay, R.D. “*Electro-mechanical analysis of the audible noise of inverter-fed squirrel-cage induction motor*”, Conference record of the 1989 IEEE “*Industry Applications Society Annual Meeting*”, Vol. 1, pp. 232-237, 1989.
- [8] Belmans, R., Verdyck, D., Geysen, W., Findlay, R.D. “*Electro-mechanical analysis of the audible noise of an inverter-fed squirrel-cage induction motor*”, IEEE “*Transactions on Industry Applications*”, Vol. 27, No. 3, pp. 539-544, 1991.
- [9] Bhattacharya, N.K., Naskar, A.K., Sarkar, D., „*Computation of temperature distribution in the rotor of an induction motor during star-delta starting in two dimensional rectangular co-ordinates*”, Proceedings of “*1th International Conference on Condition Assessment Techniques in Electrical Systems (CATCON)*”, Kolkata – Bengal, India, 2013.
- [10] Bianchi, N. „*Electrical Machine Analysis Using Finite Elements*” CRC. Press, USA, 2005.
- [11] Binojkumar, A.C., “*Experimental Investigation on the Effect of Advanced Bus-Clamping Pulsewidth Modulation on Motor Acoustic Noise*”, IEEE Transactions “*Industrial Electronics*”, Volume:60 Issue: 2, Mar. 2013.
- [12] Boldea, I. „*Transformatoare și mașini electrice*”, Editura “*Politehnică*” ,Timișoara, 2002.
- [13] Cedrat Group, “*Flux2D & 3D Applications, User's guide – Volume 4, solving and results post-processing*”, Meylan, France: www.cedrat.com, 2007.
- [14] Cedrat Group “*Flux2D/3D Applications, User's guide, Physical Applications: Magnetic Electric and Thermal*”, Meylan , France: www.cedrat.com, 2010.
- [15] Cojan, M., Simion, Al., Anghel, B. „*About the influence of thermal conditions upon power reserve value considering real condition of practice for rotary electrical machines*”, Buletinul Institutului Politehnic din Iași Tomul L(LIV), Fasc. 5, Electrotehnică, Energetică, Electronică ,2004.

- [16] Cojan, M., Simion, Al., Romila, E., Anghel, B. “*Analysis upon heat transfer in rotary electrical machines to determine the parameters of the thermal model using FEM*”, Buletinul Institutului Politehnic din Iași, Tomul L (LIV), Fasc. 5, Electrotehnică, Energetică, Electronică, 2004.
- [17] Dlala, E., Saitz, J., Arkkio, A., „*Inverted and Forward Preisach Models for Numerical Analysis of Electromagnetic Field Problems*”, Magnetics, *IEEE Transactions* ,Volume:42 ,Issue: 8, July 2006.
- [18] Dobzhanskyi, O., Gouws, R., “*Study on energy losses in industrial sector caused by low actual efficiency of induction motors*”, “*Proceedings of „International Conference on the Industrial and Commercial Use of Energy (ICUE)*”, pp.1-5, Cape Town, Africa, 2014.
- [19] Dorrell, D.G., “*The challenges of meeting IE4 efficiency standards for induction and other machines*”, *Proceedings of „IEEE International Conference on Industrial Technology (ICIT)*” pp.213-218, Busan, Korea, 2014.
- [20] Dumitrescu, R., Simion, Al., Livadaru L., Munteanu, A., “*FEM Based Analysis of an Induction Motor with Ring Winding and Multiple Number of Pole Pairs*”, *Proceedings Of „Simpozionul Național de Electrotehnică Teoretică*”, SNET, , pp. 459-464, București, 2007.
- [21] Ene, Ghe., Pavel, C., „*Introducere în tehnica izolării vibrațiilor și a zgomotului*” Editura „*Matrix Rom*” București, 2012.
- [22] Faiz, J., Ebrahimi, B., Akin, B., Toliyat, H., “*Comprehensive eccentricity fault diagnosis in induction motors using finite element method*”, *IEEE “Transactions on Magnetics”*, Vol. 45, No. 3, pp. 1764-1767, 2009.
- [23] Fernandes Neves, A.B., De Leles Ferreira Filho A., Borges de Mendonca, M.V., „*Effects of voltage unbalance on torque and efficiency of a three-phase induction motor*”, *Proceedings of “16th International Conference on Harmonics and Quality of Power (ICHQP)”*, București, România, 2014.
- [24] Finley, W., Loutfi, M., Sauer, B.J., “*Motor vibration problems – Understanding and identifying*”, *Proceedings of IEEE-IAS/PCA Conference “Cement Industry Technical (CIC)”* pp.1-20, Orlando, Florida, 2013.
- [25] Fireșteanu V., „*Analiza în element finit. Studiul mașinilor electrice*” , Editura „*Printech*” București, 2011.
- [26] Fireșteanu, V., Constantin, A.I., Leconte, V., Șandru M., “*Multiphysic model of the transient heating of the squirrel-cage rotor of induction motors*”, *Proceedings of “14th International Conference on Optimization of Electrical and Electronic Equipment”*, Brașov, 2014.
- [27] Fnaiech, M., A., Khadraoui S., Nounou, H.N., Guzinski, J., Bhattacharyya, S.P., “*A Measurement-Based Approach for Speed Control of Induction Machines*” *Emerging and Selected Topics in Power Electronics, IEEE Journal*, Volume:2 Issue: 2, Jan. 2014.
- [28] Gafițanu, M., Merticaru, V., Focșa, V., „*Vibrații și zgomote*”, Editura “*Junimea*” Iași, 1980.
- [29] Gieras J.F., Wang, C., Lai J.C., “*Noise of polyphase electric motors*”, CRC Press, “*Taylor & Francis Group*”, Boca Raton, Florida, Statele Unite ale Americii, 2006.
- [30] Gieras, J.F., „*Advancements in electric machines.*” Editura „*Rockford*”, Illinois, USA, 2008.
- [31] Gongora, W., Silva, H., Godoy, W., „*Neural approach for bearing fault detection in three phase induction motors*”, *Proceedings of “9th IEEE International Symposium on Diagnostics for Electric Machines, Power Electronics and Drives (SDEMPED)”* , pp. 566-572, Valencia, 2013.
- [32] Gonzalez, A., Arjona, M.A., “*New starting system for three-phase induction motors by using a part-winding and capacitors*”, *Proceedings of “7th IET International Conference on Power Electronics, Machines and Drives (PEMD 2014)”*, pp. 1-5, Manchester, 2014.

- [33] Goyal, A., Agarwal, P., Bhatti, J., Agarwal, V., „*Three phase induction motor drive using single-phase to three-phase cycloinverter with SVPWM technique*”, Proceedings of „*Students Conference on Engineering and Systems (SCES)*” pp. 1-5, Allahabad, 2014.
- [34] Harlisca, C., Szabo L., Frosini, L., “*Diagnosis of rolling bearings faults in electric machines through stray magnetic flux monitoring*”, Proceedings of “*8th International Symposium on Advanced Topics in Electrical Engineering (ATEE)*”, pp.1-6, București 2013.
- [35] Houquan, Z., Guihou, Z., Jin, C., “*Analysis and Study of Skewed Slot Tooth Distance on Low Electromagnetic Noise of Three-Phase Induction Motor with Squirrel Cage Rotor*”, Proceedings of “*6th International Conference on Electromagnetic Field Problems and Applications (ICEF)*” ,pp. 1-4, Dalian, Liaoning, China, 2012.
- [36] I.E.C. 60034 –Standard, „*Mașini electrice rotative. Partea 9 – Limite de zgomot*”, 2006.
- [37] **Nistor, C., Ghe.**, Scutaru, Ghe., Peter, I., “*Determination of magnetic noise for a 7.5 kW three-phase induction motor fed directly from the grid*”, Proceedings of “*14th International Conference on Optimization of Electrical and Electronic Equipment*”, Brașov, 2014.
- [38] **Nistor, C., Ghe.**, “*Analysis of noise and heating for three-phase induction motor fed by inverter*”, Proceedings of “*14th International Conference on Optimization of Electrical and Electronic Equipment*”, Brașov, 2014.

Nistor Ciprian Gheorghe

A absolvit studii de Licență, Masterat și Doctorat la Facultatea de Inginerie Electrică și Știința Calculatoarelor din cadrul Universității "Transilvania" din Brașov precum și studii de Teologie Ortodoxă la Facultatea de Teologie Ortodoxă "Andrei Șaguna" din cadrul Universității "Lucian Blaga" Sibiu.

Actualmente este Preot ortodox (onorific) la Capela "Sf. Ier. Luca al Crimeei și Sf. Ier. Andrei Șaguna" din Brașov, cadru didactic la Universitatea "Transilvania" din Brașov (Facultatea de Inginerie Electrică și Știința Calculatoarelor) și președinte al Asociației "Sfântul Ierarh Luca al Crimeei" din Brașov.

Domenii de interes (cercetare): neuroștiință, mașini electrice, spiritualitate ortodoxă, biofizică, electronică de putere, microcontrollere, embedded systems.

